

KJELLER
VINDTEKNIKK

Brusali-Karten vindpark

Støy- og skyggekastberegninger

Rapportnummer: KVT/AS/2007/007

| | |
|---------------------------------------|---------------------|
| Rapportnummer | Dato |
| KVT/AS/2007/007 | 26.06.2007 |
| Rapportittel | Klassifisering |
| Brusali-Karten vindpark | Begrenset til kunde |
| Støy- og skyggekastberegninger | Utgave nummer. |
| | 4 |
| Kunde | Antall sider |
| Rambøll Norge AS | 19 + Utskrifter |
| Kundens referanse | Status |
| Per Ove Skorpen | Ferdig |

Sammendrag

Det er gjennomført støy- og skyggekastberegninger for Brusali-Karten vindpark.

Beregningresultatene viser at med den foreslalte parkutformingen, og med den valgte turbintypen, vil ti lokaliteter med bygninger få støyverdier over den anbefalte grenseverdien på L_{den} 45 dB (A). Det er da, på bakgrunn av terrengets utforming, antatt at alle lokalitetene ligger i vindskygge.

For fem av de samme lokalitetene er det også funnet at antall timer med skyggekast vil bli over de anbefalte svenske grenseverdiene på 30 t/år eller 30 min/dag for "worst-case" beregninger. Faktisk skyggekast er imidlertid beregnet til å bli lavere enn de svenske grenseverdiene på 8 t/år for alle lokalitetene.

Mulige avbøtende tiltak vil kunne redusere støy- og skyggekastnivået slik at man kommer under grenseverdiene. De avbøtende tiltakene vil imidlertid kunne gi lavere energiproduksjon.

Forbehold

Revisjonshistorie

| Utgave | Dato | Antall eksemplar | Kommentar | Distribusjon |
|--------|------------|------------------|---|--------------|
| 1 | 16.03.2007 | 5 | Original utgave - Draft | |
| 2 | 10.4.2007 | 5 | Original utgave - Ferdig | |
| 3 | 02.05.2007 | 5 | Revisjon 1 | |
| 4 | 26.06.2007 | | Nytt kapittel om støyberegninger hvor vindretning er tatt hensyn til. | |

| | Navn | Dato | Signatur |
|----------------|------------------|------|----------|
| Utført av | Anja Saxeboel | | |
| Kontrollert av | Finn K. Nyhammer | | |
| Godkjent av | Lars Tallhaug | | |

Innhold

| | | |
|------------------|---|-----------|
| 1 | SKYGGEKAST | 3 |
| 1.1 | INNLEDNING | 3 |
| 1.2 | REFLEKSBLINK | 3 |
| 1.3 | SKYGGEKAST FRA VINDTURBINER | 3 |
| 1.4 | KUNNSKAPSNIVÅ | 3 |
| 1.5 | ANBEFALTE GRENSEVERDIER | 3 |
| 1.6 | METODE FOR BEREGNING AV SKYGGEKAST | 4 |
| 1.6.1 | <i>Programvare</i> | 4 |
| 1.6.2 | <i>Datagrunnlag</i> | 4 |
| 1.6.3 | <i>Forutsetninger</i> | 5 |
| 1.6.4 | <i>Valg av skyggemottakere</i> | 5 |
| 1.6.5 | <i>Feilkilder</i> | 5 |
| 1.7 | RESULTATER SKYGGEKASTBEREGNINGER | 6 |
| 1.8 | MULIGE AVBØTENDE TILTAK | 8 |
| 2 | STØY..... | 9 |
| 2.1 | INNLEDNING | 9 |
| 2.2 | STØY FRA VINDTURBINER | 9 |
| 2.3 | ANBEFALTE GRENSEVERDIER | 9 |
| 2.4 | METODE FOR BEREGNING AV STØY | 10 |
| 2.4.1 | <i>Programvare</i> | 10 |
| 2.4.2 | <i>Datagrunnlag</i> | 10 |
| 2.4.3 | <i>Forutsetninger</i> | 10 |
| 2.4.4 | <i>Valg av lokaliteter</i> | 10 |
| 2.4.5 | <i>Feilkilder</i> | 10 |
| 2.5 | RESULTATER STØYBEREGNINGER | 11 |
| 2.6 | VINDRETNINGENS BETYDNING FOR STØYNIVÅET | 12 |
| 2.7 | RESULTATER STØYBEREGNINGER HVOR DET TAS HENSYN TIL DOMINERENDE VINDRETNING OG VINDHASTIGHET 14 | |
| 2.8 | STØY I ANLEGGSPERIODEN | 16 |
| 2.9 | AVBØTENDE TILTAK OG OPPFØLGENDE UNDERSØKELSER | 16 |
| 2.9.1 | <i>Mulige avbøtende tiltak</i> | 16 |
| 2.10 | REFERANSER | 18 |
| APPENDIKS | | 19 |

1 Skyggekast

1.1 Innledning

I denne rapporten gis det en vurdering av om eventuelle skyggekast fra Brusali-Karten vindpark kan påvirke omkringliggende bebyggelse. For nærliggende bebyggelse som blir berørt av skyggekast, er det gjort en vurdering av omfang og variasjon gjennom året og døgnet. Skyggekast fra vindparken er beregnet ved hjelp av kartopplysninger og dataprogrammet WindPro.

1.2 Refleksblink

Mulige ulemper knyttet til refleksblink nevnes ofte sammen med temaet skyggekast. Refleksblink forekommer når solen reflekteres i blanke flater på turbinbladene. Turbinbladenes roterende bevegelse vil da gjøre at refleksjonen oppfattes som blink. Refleksblink er mer komplisert å beregne enn skyggekast fordi omfanget av refleksblink også vil avhenge av turbinbladenes utforming og vridning (pitch). Problemet kan imidlertid minimeres ved å velge overflatebehandlinger med meget lave glanstall (under 30) (Danske Energistyrelsen 2002). Dersom det tas tilbørlig hensyn gjennom fargevalg og overflatebehandling av turbinbladene anses ulempen med refleksblink å bli liten.

1.3 Skyggekast fra vindturbiner

Når en vindpark er i drift vil vindturbinene få roterende skygger. Dette kan være sjenerende, spesielt når de faller på lysåpninger som vinduer. Den roterende skyggen vil da for de som sitter innendørs skape en blinkende effekt, gjerne kalt stroboskopeffekten. Skyggekast kan også være sjenerende når man oppholder seg utendørs. Skyggen av en stillestående turbin vil normalt være uproblematisk.

Hvor og når skyggekast kan oppstå avhenger blant annet av lokaliseringen i forhold til vindparken og den lokale topografien. Man får mest skyggekast når solen står lavt slik at skyggene blir lange. Effekten av skyggene avtar imidlertid med avstanden fra vindturbinen. Turbinbladene vil da dekke en mindre del av solskiven slik at skyggen bli mer diffus.

1.4 Kunnskapsnivå

Kunnskapsnivået rundt effektene av skyggekast er fremdeles forholdsvis begrenset. I Tyskland er det imidlertid gjennomført en feltstudie i 1999 og et laboratorieforsøk i 2000. I feltstudien (J. Pohl, F. Faul og R. Mausfeld, 1999) oppga deltakerne at skyggekast var en belastning.

I laboratorieforsøket (J. Pohl, F. Faul og R. Mausfeld, 2000) ble det påvist stressymptomer hos de som ble utsatt for skyggekast. Yngre personer viste seg å takle belastningen av skyggekast bedre enn eldre. Stressymptomene som ble funnet var moderate. Imidlertid påpekes det at kummulative langtidsvirkninger kan være større.

1.5 Anbefalte grenseverdier

Det finnes i dag ingen norske retningslinjer for grenseverdier for skyggekast. I Sverige har man imidlertid følgende grenseverdier (NVE, 2006):

- Totalt 30 timer per år og maksimalt 30 minutter per dag for teoretisk skyggekast ("worst case"-beregring).
- Totalt 8 timer per år for faktisk skyggekast

For forklaring av begrepene teoretisk skyggekast og faktisk skyggekast, se kap. 1.6 under.

I Danmark er det ikke fastsatt grenseverdier for skyggekast, men det anbefales at vindturbiner ikke påfører naboer mer enn 10 timer faktisk skyggekast per år (Danske Energistyrelsen, 2002)

1.6 Metode for beregning av skyggekast

Når man kjenner vindturbinens geografiske plassering og plassering i forhold til et gitt område, vindturbinens utforming (høyde og rotordiameter) kan man gjøre en teoretisk beregning av forventet skyggekast for det gitte området. Det er vanlig å beregne totalt antall skyggetimer per år og maksimalt antall skyggetimer per dag. Resultatet kan vises på kart eller oppgis for en spesifikk skyggemottaker. Ved en slik "worst case"-beregring tar man ikke hensyn til at faktisk antall timer med skyggekast påvirkes av følgende forhold:

- Dersom vindturbinen står stille vil roterende skygger ikke forekomme.
- Hvis solen er dekket av skyer vil skyggen helt eller delvis elimineres.
- Når vindretningen ikke er den samme som solens innfallsvinkel vil omfanget av skyggekast bli mindre. Vindturbinene dreier med vindretningen for å oppnå høyest mulig energiproduksjon.

For å ta hensyn til disse forholdene er det i tillegg til "worst case"-bergringene derfor vanlig å beregne forventet faktisk antall timer med skyggekast per år hvor man tar hensyn til statistikk for soldata og vindforhold.

1.6.1 Programvare

Beregningene er gjort med bruk av programvaren WindPro versjon 2.5.

1.6.2 Datagrunnlag

Det er benyttet rasterkart i målestokk 1:50 000 fra Statens kartverk. For å ta hensyn til topografiene er det også lagt inn høydedata med 20 meters koter. I bergringene er det benyttet en Vestas V90-turbin med tårnhøyde 80 m og rotordiameter 90 m.

Månedlig gjennomsnittlig sannsynligheten for sol fra soloppgang til solnedgang er beregnet fra soltimeobservasjoner fra Sola flyplass i perioden 1953-1980. Sannsynlighetsverdiene som er benyttet er vist i Tabell 1.

Tabell 1. Sannsynlighet for sol i tidsrommet mellom soloppgang og solnedgang. Data fra Sola flyplass.

| Måned | Jan | Feb | Mar | Apr | Mai | Jun | Jul | Aug | Sep | Okt | Nov | Des |
|-----------------------|------|------|------|------|------|------|------|------|------|------|------|------|
| Sannsynlighet for sol | 0.20 | 0.29 | 0.35 | 0.40 | 0.41 | 0.38 | 0.36 | 0.37 | 0.32 | 0.25 | 0.19 | 0.16 |

Forventede vindforhold i planområdet er vist i tabell 2. På bakgrunn av vinddata er det estimert antall driftstimer som funksjon av retning og at vindturbinene vil være i drift ved vindhastigheter mellom 4 m/s og 25 m/s.

Tabell 2. Forventet antall driftstimer per vindretning per år for Brusali-Karten vindpark.

| Vindretning | N | NNE | ENE | E | ESE | SSE | S | SSW | WSW | W | WNW | NNW | Totalt |
|---------------------------|-----|-----|-----|-----|------|-----|-----|-----|-----|-----|-----|------|--------|
| Antall driftstimer per år | 668 | 161 | 268 | 709 | 1340 | 867 | 594 | 401 | 397 | 518 | 833 | 1226 | 7922 |

1.6.3 Forutsetninger

Antall skyggetimer er beregnet dag for dag over ett år i steg på ett minutt. For skyggekartet er skyggen beregnet i ruter på 20 m*20 m, tidsstepp hvert femte minutt hver syvende dag. Programmet beregner solens posisjon på bakgrunn av vindkraftverkets geografiske beliggenhet.

Situasjoner hvor turbinene er mer enn 2 km unna, solen står mindre enn 3° over horisonten eller rotorbladene dekker mindre enn 20 % av solskiven er ikke tatt med i beregningene. Skyggeeffekten antas for disse situasjonene å være så diffus at den er neglisjerbar. Det er lagt til grunn tyske retningslinjer (EMD 2004) siden det ikke finnes norske retningslinjer om dette.

Det er antatt at vinduet som mottar skygge har vinkel på 90 ° med bakkenivå, har størrelse 1 m*1 m og en høyde fra bakken til nederste del av vinduet på 1.5 m.

1.6.4 Valg av skyggemottakere

På bakgrunn av et "Worst case" skyggekart er det identifisert 10 boliger hvor beregnet skyggekastverdi er over 0 timer per år. For hver av disse bygningene er det beregnet "worst case" antall skyggetimer per år og maksimal skyggetimer pr dag. Videre er det beregnet forventet reelt antall skyggetimer per år. Det er antatt at disse bygningene har vinduer i alle retninger (som et drivhus). Plasseringen av skyggemottakerne er vist på vedlagt skyggekart merket Appendiks A.

1.6.5 Feilkilder

Det er knyttet usikkerhet til de meteorologiske dataene. For vinddataene skyldes dette blant annet at terrenget i planområdet er forholdsvis komplekst slik at beregnet vindforhold ikke gir en like god beskrivelse av vindforholdene ved den enkelte turbin. For soltimene er det primært usikkerhet knyttet til avstanden mellom målestasjonen og planområdet.

Lokalitetene det er beregnet skyggekast for er valgt på bakgrunn av tilgjengelig kartdata. Hva slags type bygninger det er snakk om og hvordan disse benyttes er ikke kjent. Videre er bygningenes grad av vinduer i retning mot vindturbinene ikke kartlagt.

Som følge av disse feilkildene må det understrekkes at beregningsresultatene for enkeltbygninger har en betydelig feilmargin. For de berørte bygningene som får høye beregnede verdier for skyggekast bør det derfor gjennomføres grundigere analyser før man eventuelt bestemmer seg for å gjennomføre kostbare avbøtende tiltak.

1.7 Resultater skyggekastberegrninger

Beregnet skyggekastkart, som også viser lokalitetene det er beregnet skyggekast for, er vedlagt og merket Appendiks A.

Tabell 3 viser de beregnede resultatene for de ti lokalitetene.

Tabell 3. Resultat skyggekastberegrninger

| Lokalitet | "Worst Case"-bergrninger | | | Beregning faktisk skyggekast |
|-----------|-------------------------------|--------------------|--------------------------------------|------------------------------|
| | Skyggetimer per år | Skyggedager per år | Maksimalt antall skyggetimer per dag | |
| | Svensk grenseverdi 30 t/år | | Svensk grenseverdi 30 min/dag | Svensk grenseverdi 8 t/år |
| A | 5:24 | 23 | 0:18 | 0:51 |
| B | 20:40 | 76 | 0:24 | 2:26 |
| C | 36:39 | 102 | 0:34 | 4:22 |
| D | 29:16 | 98 | 0:23 | 4:04 |
| E | 8:15 | 47 | 0:16 | 1:06 |
| F | 55:27 | 144 | 0:45 | 7:38 |
| G | 39:35 | 136 | 0:31 | 5:48 |
| H | 35:48 | 101 | 0:41 | 3:48 |
| I | 6:16 | 30 | 0:15 | 0:34 |
| J | 19:17 | 55 | 0:34 | 3:54 |

For lokalitetene C, F, G, H og J er de beregnede verdiene høyere enn de anbefalte grenseverdiene i Sverige.

Tabell 4 viser hvilke grenseverdier som overskrides.

Tabell 4. Oversikt over hvilke grenseverdier som overskrides eller ikke for de fem lokalitetene C, F, G, H og J.

| | Maksimalt 30 t/år for "worst-case" skyggekast | Maksimalt 30 min/dag for "worst-case" skyggekast | Maksimalt 8 t/år for faktisk skyggekast |
|---|--|---|--|
| C | Ja | Ja | Nei |
| F | Ja | Ja | Nei |
| G | Ja | Ja | Nei |
| H | Ja | Ja | Nei |
| J | Nei | Ja | Nei |

Tabell 5 gir en kort beskrivelse av hvilke tidspunkt på året og hvilke tidspunkt på døgnet det er forventet at skyggekast vil inntreffe og hvilke turbiner som vil skape skygge. Videre oppgis det hvilke turbiner som gjør at beregnede skyggekastverdier blir over anbefalte svenske grenseverdier.

Tabell 5. Når skyggekast er forventet å inntreffe og hvilke turbiner som vil skape skygge for lokalitetene C, F, G, H og J

| Lokalitet | Tidspunkt på året | Tidspunkt på døgnet | Fra hvilke turbiner | Turbiner som er årsak til at beregnede skyggekasttimer blir høyere enn de svenske grenseverdiene. |
|-----------|--------------------------|--|-----------------------|---|
| C | Oktober - februar | Morgen, formiddag og tidlig ettermiddag | 33, 38 og 39 | 33 |
| F | September - mars | Morgen, formiddag og tidlig ettermiddag | 1, 2, 3, 4 og 5 | 1 |
| G | September - mars | Morgen, formiddag og tidlig ettermiddag | 1, 2, 3, 4, 5, 6 og 7 | 3 eller både 1 og 2. |
| H | Oktober - februar | Morgen og tidlig ettermiddag | 6, 8 og 14 | 8 |
| J | April, mai, juli og aug. | Morgen | 30 og 31 | 30 eller 31 |

For lokalitetene A, B, D, E og I er de beregnede verdiene lavere enn de anbefalte grenseverdiene i Sverige. Av disse lokalitetene er D den lokaliteten som har beregnede verdier nærmest grenseverdiene. Tabell 6 gir en kort beskrivelse av hvilke tidspunkt på året og hvilke tidspunkt på døgnet det er forventet at skyggekast vil inntreffe på disse lokalitetene og hvilke turbiner som vil skape skygge.

Tabell 6. Når skyggekast er forventet å inntrefte og hvilke turbiner (jf. nummerering i figur 1) som vil skape skygge for lokalitetene A, B, D, E og I. For disse lokalitetene er beregnet antall timer skyggekast lavere enn anbefalte svenske grenseverdier.

| Lokalitet | Tidspunkt på året | Tidspunkt på døgnet | Fra hvilke turbiner |
|-----------|-----------------------------|---------------------|---------------------|
| A | Mars, september og oktober | Ettermiddag | 18 og 32 |
| B | Januar, februar og november | Ettermiddag | 32 |
| D | Oktober til februar | Morgen/formiddag | 31 og 32 |
| E | November til februar | Morgen/formiddag | 30 og 31 |
| I | Desember og januar | Formiddag | 8 |

Av turbinene nevnt i Tabell 6, er det turbinene 31 og 30 som er forventet å gi mest tid med skyggekast.

1.8 Mulige avbøtende tiltak

Lokalitetene det er beregnet skyggekast for er valgt på bakgrunn av tilgjengelig kartdata. Hva slags type bygninger det er snakk om og hvordan disse benyttes er ikke kjent. Videre er byggenes grad av vinduer i retning mot vindturbinene ikke kartlagt. Det anbefales derfor at man skaffer seg mer kunnskap om de aktuelle lokalitetene før vedtak fattes og eventuelle avbøtende tiltak fastsettes.

Mulige avbøtende tiltak er redusering av antall turbiner, stopp av turbiner i kritiske perioder og skjerming av vinduer hos skyggemottaker. Hvilke turbiner som er forventet å gi mest skygge er beskrevet i tabell 5 over.

For lokalitetene C, F, G, H og J bør avbøtende tiltak vurderes. Lokalitetene F og G er de lokalitetene hvor skyggekast forventes å gi størst ulemper. Imidlertid er de beregnede verdiene for faktisk skyggekast lavere enn de svenske retningslinjene på 8 timer/år for alle lokalitetene, noe som kan tale for at avbøtende tiltak ikke er nødvendig.

2 Støy

2.1 Innledning

I denne rapporten gis det en vurdering av støynivået fra den planlagte Brusali-Karten vindpark. Det er beregnet støynivå for den nærmeste bebyggelse. Videre er det utarbeidet støysonekart. Ved overskridelse av SFTs retningslinjer for støy, gis det en vurdering av mulige avbøtende tiltak. Det er gitt en kort beskrivelse av forventet støy under anleggsperioden.

2.2 Støy fra vindturbiner

Støy fra vindturbiner kan deles i to kategorier, aerodynamisk støy og maskinstøy. Maskinstøyen, som i hovedsak kommer fra generator og eventuell girboks, har blitt vesentlig redusert de siste årene på grunn av konstruksjonsforbedringer. Hovedstøykilden fra en vindturbin vil derfor normalt være den aerodynamiske støyen fra luftstrømmen rundt turbinbladene. Denne støyen er en bredspektret suselyd. Lydnivået vil variere i takt med at turbinbladene passerer tårnet og kan derfor oppleves som noe pulserende.

Vindturbiner kan også produsere rentonestøy. Konstruksjonsforbedringer de siste årene har gjort at denne type støy har blitt mindre vanlig.

En vindturbin vil normalt starte opp ved en vindhastighet på rundt 4 m/s. Støyen fra vindturbinene øker med vindhastigheten. Imidlertid øker bakgrunnsstøyen fra selve vinden også med vindhastigheten. Ved vindhastigheter over ca. 8 m/s vil bakgrunnsstøyen fra selve vinden begynne å bli den dominerende støykilden.

2.3 Anbefalte grenseverdier

Dagens forskrifter (rundskriv T-1442 fra Miljøverndepartementet) gir grenseverdier i L_{den} ("day-evening-night level").

L_{den} beregnes ved at støy om kvelden (kl 19-23) tillegges 5 dB og støy om natten (kl 23-07) tillegges 10 dB.

Rundt en støykilde defineres det to soner:

- Rød sone, nærmest støykilden, angir et område som ikke er egnet til støyfølsomme bruksformål. I følge ovennevnte rundskriv er grenseverdien for rød sone for en vindpark L_{den} 55 dB(A).
- Gul sone, utenfor denne, er en vurderingssone. I følge ovennevnte rundskriv er grenseverdien for gul sone for en vindpark L_{den} 45 dB(A). Grenseverdien kan videre heves til L_{den} 50 dB (A) for boliger som ligger i vindskygge mindre enn 30 % av et normalår, forutsatt at vindturbinen ikke gir lyd med rentonekarakter.

2.4 Metode for beregning av støy

2.4.1 Programvare

Støyberegningene er gjennomført med programmet WindPro versjon, 2.5.6.79, etter modell ISO 9613-2 General.

2.4.2 Datagrunnlag

Det er benyttet rasterkart i målestokk 1:50 000 fra Statens kartverk. For å ta hensyn til topografien er det også lagt inn høydedata med 20 meters koter. I beregningene er det benyttet en 3.0 MW Vestas V90-turbin med tårnhøyde 80 m og rotordiameter 90 m.

2.4.3 Forutsetninger

Det er antatt en brukstid på 8000 timer for vindturbinene.

Støynivået er beregnet for høyde 4 m over bakken. Dette er samme høyde som er anbefalt høyde for støysonekart (T-1442).

Beregningene er gjort for vindhastigheten 8 m/s da det normalt er rundt denne vindhastigheten at oppfattet støynivå fra en vindpark er høyest. Ved høyere vindhastigheter vil bakgrunnsstøyen fra selve vinden i økende grad bli den dominerende støykilden.

Terrengets demping av støyen avhenger av terrengetypen. For hardt underlag (vann, bart fjell m.m) skal i følge ISO 9613-2 faktor 0 benyttes i beregningene. For porøst underlag (gress, dyrkbar mark, skog m.m.) skal det benyttes faktor 1. For overflater bestående av en blanding skal faktoren være en verdi i mellom disse, avhengig av andelen porøs grunn. På bakgrunn av flyfoto (norgebilder.no) er det antatt at andelen porøs grunn er ca. 70 %. På bakgrunn av dette er det benyttet en faktor 0.7 i beregningene.

Avhengig av lokale forhold vil ulike værtyper gi en demping av støyen på 0 dB til 5 dB (T-1442). Graden av demping påvirkes av lufttemperaturen, den relative luftfuktigheten og frekvensen på støyen (ISO 9613-1). Som et moderat anslag er det i beregningene benyttet en meteorologiskorreksjon på 1 dB.

For å ta hensyn til bestemmelsene om at støy kveld og natt skal vektlegges mer enn støy om dagen, er det for hver vindturbin lagt til et tillegg til opprinnelig støynivå på 6 dB. Verdien er regnet ut med utgangspunkt i at turbinene er i drift til alle tider av døgnet fordelt på 8000 timer i året.

2.4.4 Valg av lokaliteter

På bakgrunn av rasterkart over området og utarbeidet støysonekart er det gjort beregninger for de bygg som ligger i nærheten av vindparken. Byggenes plassering er markert med bokstavene A-J på vedlagt støysonekart, merket Appendiks B.

2.4.5 Feilkilder

De beregnede støynivåene er teoretiske verdier. Faktisk støynivå vil kunne variere noe fra dette. Tabell 7 gir en beskrivelse av de antatt viktigste forholdene som kan gjøre at faktisk støyverdi avviker fra den beregnede.

Tabell 7. Forhold som kan gjøre at faktisk støyverdi avviker fra den beregnede

Forhold som påvirker støyverdien

Hvordan støyen blir påvirket

| | |
|--|--|
| Turbinenes støynivå kan avvike noe fra forventet verdi. | Kan gi høyere eller lavere støynivå. Fra turbinleverandøren oppgis det en usikkerhet på +/- 2 dB. |
| Usikkerhet knyttet til støyberegningsmetoden | Kan gi høyere eller lavere støynivå. |
| Det er antatt en konstant vindhastighet på 8 m/s da dette er den vindhastigheten som normalt gir høyest oppfattet støynivå fra en vindpark. Ved lavere vindhastigheter er støynivået normalt noe lavere, særlig ved vindhastigheter lavere enn 4 m/s. Ved høyere vindhastigheter vil bakgrunnsstøyen bli mer og mer dominerende. | Kan gi lavere støynivå. |
| Det er antatt at vindretningen er fra vindparken og mot lokaliteten det er beregnet støy for. For de perioder hvor vindretningen er en annen, vil støynivået bli noe lavere. Se kap 2.6. | Kan gi lavere støynivå. |
| Det er antatt faktor 0.7 for lyddemping fra bakken. | Kan gi lavere eller høyere støynivå avhengig av om antatt faktor er hhv. for lav eller for høy. |
| Det er antatt at gjennomsnittlig værsituasjonen (temperatur og luftfuktighet) er slik at den gir en demping på ca. 1 dB per km. | Kan gi lavere eller høyere støynivå. Dersom ca. 50 % av året omfatter ugunstige lydutbredelsesforhold vil dempingen være ca. 2.5 dB (TA-2115). |

Ut fra momentene over antas det at usikkerheten ligger noe på "sikker" side, dvs. at det er mer sannsynlig at de beregnede støynivåene er for høye enn for lave i forhold til hva faktisk årsmiddelverdi vil bli.

2.5 Resultater støyberegninger

Når anlegget er i drift vil støy fra vindparken i hovedsak skyldes støyen fra vindturbinene. Det er ikke gjort en detaljert vurdering av i hvor stor grad nærliggende bebyggelse vil ligge i vindskygge. På grunn av terrengets utforming i og rundt planområdet antas det imidlertid at alle bygg ligger i vindskygge mer enn 30 % av et normalår. Grenseverdien for gul sone blir da L_{den} 45 dB.

Tabell 8 viser at beregnet støynivå med den valgte turbintypen er høyere enn grenseverdien på L_{den} 45 dB for alle de ti lokalitetene det er gjort støyberegninger for.

Mulige avbøtende tiltak er beskrevet i kap. 2.8.1.

Tabell 8. Beregnet støynivå for 10 lokaliteter nær den planlagte vindparken. Støynivået er beregnet for en 3.0 MW V90 Vestas-turbin.

| Lokalitet | Avstand til nærmeste turbin (m) | Beregnet støynivå i L _{den} dB(A) år |
|-----------|---------------------------------|---|
| A | 995 | 49.8 |
| B | 854 | 51.6 |
| C | 821 | 51.1 |
| D | 965 | 50.6 |
| E | 859 | 50.0 |
| F | 820 | 49.3 |
| H | 1140 | 48.5 |
| H | 804 | 49.6 |
| I | 1199 | 46.5 |
| J | 870 | 47.2 |

Beregnet støysonekart for Brusali-Karten vindpark er vedlagt, merket Appendiks B. Kartet er beregnet med en 3.0 MW V90 Vestas-turbin. Rød og gul støysone er vist på kartet.

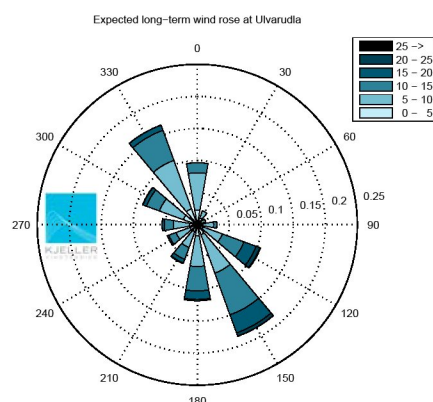
2.6 Vindretningens betydning for støynivået

I støyberegnningene er det antatt at vindretningen alltid er fra vindturbinene og mot lokalitetene det er beregnet støy for. Dette fordi en slik vindretning gir høyest støynivå. I realiteten vil vindretningen variere.

Lydbølger kan avbøyes av vinden. I motvindssonen, dvs. når vinden blåser fra lokalitetene mot vindparken og dermed mot støyutbredelsesretningen, vil lyden vanligvis bøyes opp fra bakken. I motvindssonen vil man derfor kunne få en lyddempning på 5-10 dB eller mer (TA-2115). Avstanden til vindturbinen og type terreg mellom vindturbinen og lokaliteten vil være avgjørende for hvor stor dempingen blir.

Det er ikke foretatt vindmålinger inne i selve parkområdet, men det finnes tilgjengelige data fra flere målestasjoner i områdene rundt.

Data fra prosjektene Eikeland/ Steinsland, Høgjæren og Ulvarudla er analysert og brukt som inngangsdata ved vurdering av vindforholdene. Vindrosene viser at det i stor grad er samme retningsfordeling på de tre stedene. Spesielt på Ulvarudla og Høg-jæren er to framtredende vindretninger sør-øst og nordvest. Vindforholdene på Eikeland/ Steinsland viser en noe større østlig komponent enn de andre.



Figur 1 viser vindrose for Ulvarudla 50 m over bakkenivå. Ulvarudla er lokalisert rett nord for Brusali-Karten.

Det er ikke gjort en detaljert vurdering av hvilken betydning vindforholdene vil få for det faktiske støynivået ved berørt bebyggelse. Videre må det presiseres at det er knyttet usikkerhet til vindrosen i Figur 1. I Tabell 9 er det gitt en kort vurdering av hvordan vindforholdene er antatt å påvirke det faktiske støynivået ved de ti lokalitetene det er gjort støyberegninger for.

Figur 1. Vindrose for Ulvarudla 50 m over bakkenivå.

Tabell 9. Kommentarer til om vindforholdene kan gjøre at faktisk støynivå blir lavere enn beregnet verdi.

| Lokalitet | Kommentarer |
|-----------|---|
| A og B | <p>Lokalitetene har ingen nære turbiner i retning SSE som er en av de dominerende vindretningene. Imidlertid har lokalitetene nære turbiner i retning NNV som er den andre dominerende vindretningen.</p> <p>Siden lokalitetene har turbiner i nærheten på flere kanter vil støynivået aldri bli maksimalt fra alle disse samtidig.</p> |
| C | <p>Siden lokalitetene har turbiner i nærheten på flere kanter vil støynivået aldri bli maksimalt fra alle disse samtidig.</p> |
| D og E | <p>Siden lokalitetene har turbiner i nærheten på flere kanter vil støynivået aldri bli maksimalt fra alle disse samtidig.</p> |
| F og G | <p>Turbinene er plassert slik at dominerende vindretning fra SSE vil blåse mot lokalitetene.</p> |
| H og I | <p>Turbinene er lokalisert sør for lokalitetene, blant annet i retning SSE som er en av de dominerende vindretningene.</p> |
| J | <p>Den nærmeste turbinen er lokalisert nesten rett øst for lokaliteten. Vindrosen viser at det er svært lite vind i denne retningen.</p> |

2.7 Resultater av støyberegninger hvor det tas hensyn til dominerende vindretning og vindhastighet

Beregningene i dette kapittelet er utført av Rambøll AS. I beregninger er det her tatt hensyn til dominerende vindretning, noe som isteden for et "worst case"-tilfelle, vil gi et mer riktig bilde av den gjennomsnittlige situasjonen.

Støyberegnene er utført med programmet SoundPLAN, versjon 6.4. Beregningene er gjort etter standarden Nord 2000, som er en ny felles nordisk standard for støyberegninger. Den gjør det mulig å utføre beregninger som hensyntar vindretninger og -hastigheter.

Beregningene er gjort i 4 meters høyde over terrenget, det samme som for resultatene i kapittel 2.5. Også samme faktor for markdempning (0,7) er benyttet. Dette for å lettere kunne sammenligne de to beregningstilfellene.

Det er benyttet vinddata for Ulvarudla, da dette er det nærmeste området det eksisterer vinddata for. Det er to vindretninger som er dominerende, sør-sørøst (SSE) og nord-nordvest (NNW). I disse retningene blåser det i tilsammen 35 % av tiden (18,5% SSE, 16,5% NNW). Det er derfor beregnet enkeltpunkter for begge disse retningene hver for seg. Beregningshøyden for enkeltpunktene er satt til 2 meter. Vindhastigheten er satt til dominerende hastighet i hver retning, henholdsvis 11 m/s for SSE og 9 m/s for NNW. Det er også gjort beregninger av enkeltpunkt ved vindhastighet 8 m/s, da det normalt er ved denne hastigheten at oppfattet støynivå fra en vindpark er høyest.

Det er lagt terregnkart med 5-meterskoter til grunn for beregningene. I beregningene i kapittel 2.5 over er det brukt kart med 20-meterskoter, dette kan forklare noen av avvikene mellom de to beregningsmetodene.

Tabell 10 viser beregnet støynivå for de to dominerende vindretningene SSE og NNW for dominerende vindhastighet.

Tabell 10. Beregnet støynivå for de dominerende vindretningene SSE og NNW med dominerende vindhastighet

| Hus | L_{den} | | Tidligere beregnet L_{den} av Kjeller Vindteknikk |
|-----|-------------|------------|---|
| | SSE, 11 m/s | NNW, 9 m/s | |
| A | 48,6 dBA | 49,2 dBA | 49,8 dBA |
| B | 51,7 dBA | 48,3 dBA | 51,6 dBA |
| C | 49,7 dBA | 50,2 dBA | 51,1 dBA |
| D | 50,3 dBA | 50,2 dBA | 50,6 dBA |
| E | 49,3 dBA | 48,4 dBA | 50,0 dBA |
| F | 44,6 dBA | 47,6 dBA | 49,3 dBA |
| G | 45,5 dBA | 49,8 dBA | 48,5 dBA |
| H | 30,3 dBA | 46,8 dBA | 49,6 dBA |
| I | 45,9 dBA | 46,0 dBA | 46,5 dBA |
| J | 40,6 dBA | 43,3 dBA | 47,2 dBA |

Tabell 11 viser beregnet støynivå for de to dominerende vindretningene SSE og NNW for vindhastigheten 8 m/s.

Tabell 11. Beregnet støynivå for de to dominerende vindretningene med vindhastighet 8 m/s.

| Hus | L_{den} | |
|-----|-----------|----------|
| | SSE | NNW |
| A | 48,6 dBA | 49,4 dBA |
| B | 51,6 dBA | 48,2 dBA |
| C | 49,6 dBA | 50,0 dBA |
| D | 50,9 dBA | 49,7 dBA |
| E | 50,4 dBA | 48,5 dBA |
| F | 46,9 dBA | 47,3 dBA |
| G | 46,3 dBA | 49,7 dBA |
| H | 32,6 dBA | 46,7 dBA |
| I | 45,2 dBA | 46,1 dBA |
| J | 40,7 dBA | 43,2 dBA |

Beregningene med dominerende vindretninger viser at flere av husene får et støynivå på fasaden som er høyere enn 45 dBA. Kun hus J vil ikke ved noen av de dominerende vindretningene oppleve støynivåer høyere enn 45 dBA. Beregningene viser like fullt at støynivåene beregnet tidligere stort sett er noe høyere enn når det tas hensyn til dominerende vindretning. Kun hus B og G vil ved mest uheldige vindretning oppleve noe høyere støy på fasade enn tidligere beregnet. Den lave verdien for hus H med vindretning SSE skyldes at huset da blir liggende i vindskyggen.

Forskjellen i støynivå ved dominerende vindhastighet og ved 8 m/s er stort sett ganske liten, men for et par punkter er den så mye som 2 dB. En forskjell på 3 dB anses som den minste forskjellen i støynivå det er mulig å oppfatte uten direkte sammenligning.

2.8 Støy i anleggsperioden

I tillegg til selve vindturbinene skal det i anleggsperioden bygges veier, nettanlegg (transformatorstasjon og kraftledninger) og eventuelle servicebygg. I anleggsperioden vil de dominerende støykildene være trafikk med tyngre kjøretøyer og drift av anleggsmaskiner. Anleggsvirksomheten i forbindelse med reisingen av turbinene forventes å være betydelig mindre enn for den første fasen med bygging av veier og fundamenter m.m..

Ved at det etableres massetak inne i vindparkområdet vil støy knyttet til bruk av tyngre kjøretøyer bli vesentlig redusert.

Det antas at det vil være nødvendig med sprengningsarbeid i anleggsperioden. Dette vil gi korte øyeblink med høyt lydnivå. Støynivået under sprengingen vil være avhengig av antall sprengninger det er behov for og sprengladningenes størrelse.

Dersom det er nødvendig med bruk av helikopter for bygging av kraftledninger vil dette medføre økt støynivå i perioden dette pågår. Det antas imidlertid at eventuell bruk av helikopter bare vil foregå i kortere tidsrom.

Ulempene med støy knyttet til anleggsperioden kan reduseres ved at anleggsarbeidet gjennomføres på dagtid mellom kl 6 og kl. 22 slik at nærliggende bebyggelse ikke blir forstyrret på natten.

2.9 Avbøtende tiltak og oppfølgende undersøkelser

Ved å ta tilbørlig hensyn under detaljplanleggingen av vindparkens endelige utforming kan man oppnå at forventet støynivå blir lavere enn SFTs grenseverdier for støy. Mulige avbøtende tiltak er beskrevet i kap. 2.8.1 under. De avbøtende tiltakene vil imidlertid kunne gi lavere energiproduksjon.

For nærliggende bebyggelse vil det kunne være behov for kontrollmålinger av støynivået etter at vindturbinene er satt i drift. Slike målinger bør gjennomføres over tid og omfatte ulike vær- og vindforhold.

2.9.1 Mulige avbøtende tiltak

Velge turbintype med lavt støynivå

For den valgte turbintypen, en Vestas 3.0 MW turbin, er normalt støynivå ved vindhastighet 8 m/s ca. 109.4 dB. På markedet finnes det turbintyper som gir lavere støy. Eksempelvis gir en 2.3 MW Enercon E-70 turbin normalt et støynivå på ca. 103.1 dB, noe som er ca. 6 dB lavere.

Justere vindturbinenes effektkurve

Mange turbinleverandører leverer turbiner med mulighet for justering av effektuttaket. Dette vil gi en endring i effektkurven. En slik justering innebærer at både den produserte effekten og støynivået blir lavere. Justeringen kan gjøres etter at vindturbinen er installert dersom det viser seg at støynivået blir for høyt. For den valgte 3.0 MW Vestas-turbinen vil en justering som gir ca. 2.6 dB lavere støynivå gi ca. 3 % lavere produksjon. En justering som gir ca. 5.1 dB lavere støynivå vil gi ca. 12 % lavere produksjon. Det kan gjøres en individuell vurdering for hver enkelt turbin om slik justering bør gjøres eller ikke.

Flytte turbiner

Dersom avstanden mellom vindturbinene og bebyggelsen økes vil støynivået for bebyggelsen bli lavere. Det er ikke gjort en vurdering av i hvor stor grad forventet energiproduksjon fra vindparken blir redusert dersom slik flytting gjennomføres. Det antas imidlertid at det er rom for noen justeringer uten at forventet energiproduksjon reduseres vesentlig.

Gjennomføre støyreduserende tiltak på bygninger

Ved å bytte ut vinduer eller gjennomføre andre støyreduserende tiltak på eksisterende bygninger kan støyulempen reduseres.

Fjerne turbiner

Dersom ovennevnte avbøtende tiltak ikke er tilstrekkelig, vil fjerning av turbiner være nødvendig for å oppnå tilfredsstillende støynivå i områdene rundt vindparken. Dersom ingen av ovennevnte avbøtende tiltak gjennomføres må 10-15 vindturbiner fjernes for at beregnet støynivå skal bli lavere enn grenseverdien for gul sone for alle de ti lokalitetene det er beregnet støynivå for.

2.10 Referanser

Olsen, A. og Inderberg, S. 2006. *Bakgrunn for vedtak for Fakken vindpark*, NVE- notat 19.12.2006

Vindmøller på land Dreiebog for VVM, Danske Energistyrelsen Februar 2002

Pohl J., Faul F. og Mausfeld R., *Belästigung durch periodischen Schattenwirf von Windenergieanlagen - Laborpilotstudie*, Staatliches Umweltamt Schleswig 2000

Pohl J., Faul F. og Mausfeld R., *Belästigung durch periodischen Schattenwirf von Windenergieanlagen - Feldstudie*, Staatliches Umweltamt Schleswig 1999

TA-2115 Veileder til Miljøverndepartementets retningslinje for behandling av støy i arealplanlegging (støyretningslinjen), SFT 2005

T-1442 Støy i arealplanlegging, Miljøverndepartementet

ISO 9613-1, Acoustics - Attenuation of sound during propagation outdoors - Part 1, ISO 1993

ISO 9613-2, Acoustics - Attenuation of sound during propagation outdoors - Part 2, ISO 1996

www.norgeibilder.no

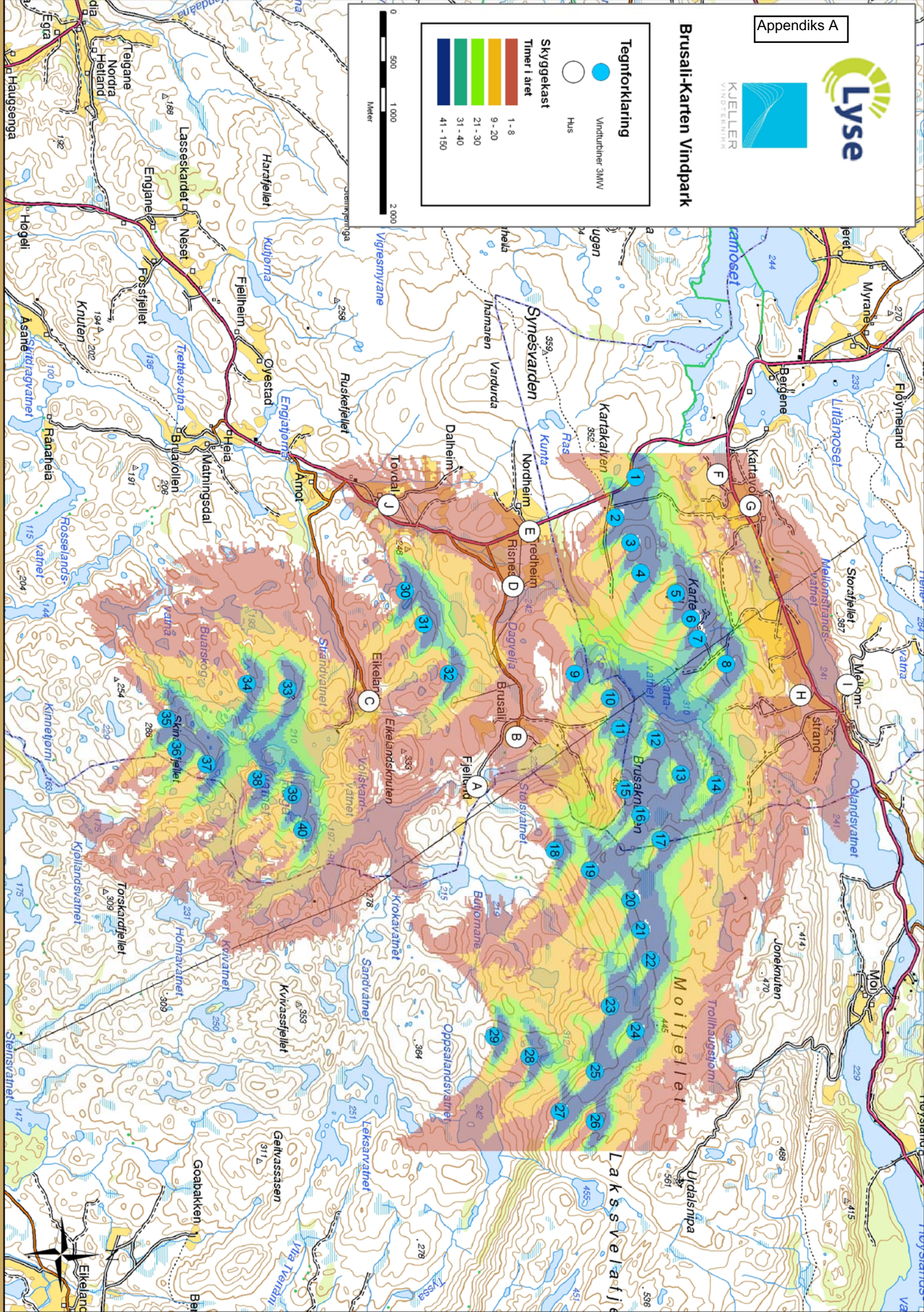
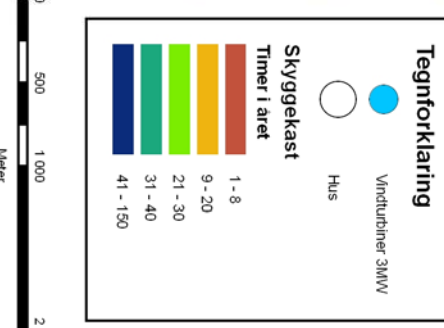
WindPRO 2.4 User Guide, EMD International AS 2004

Appendiks

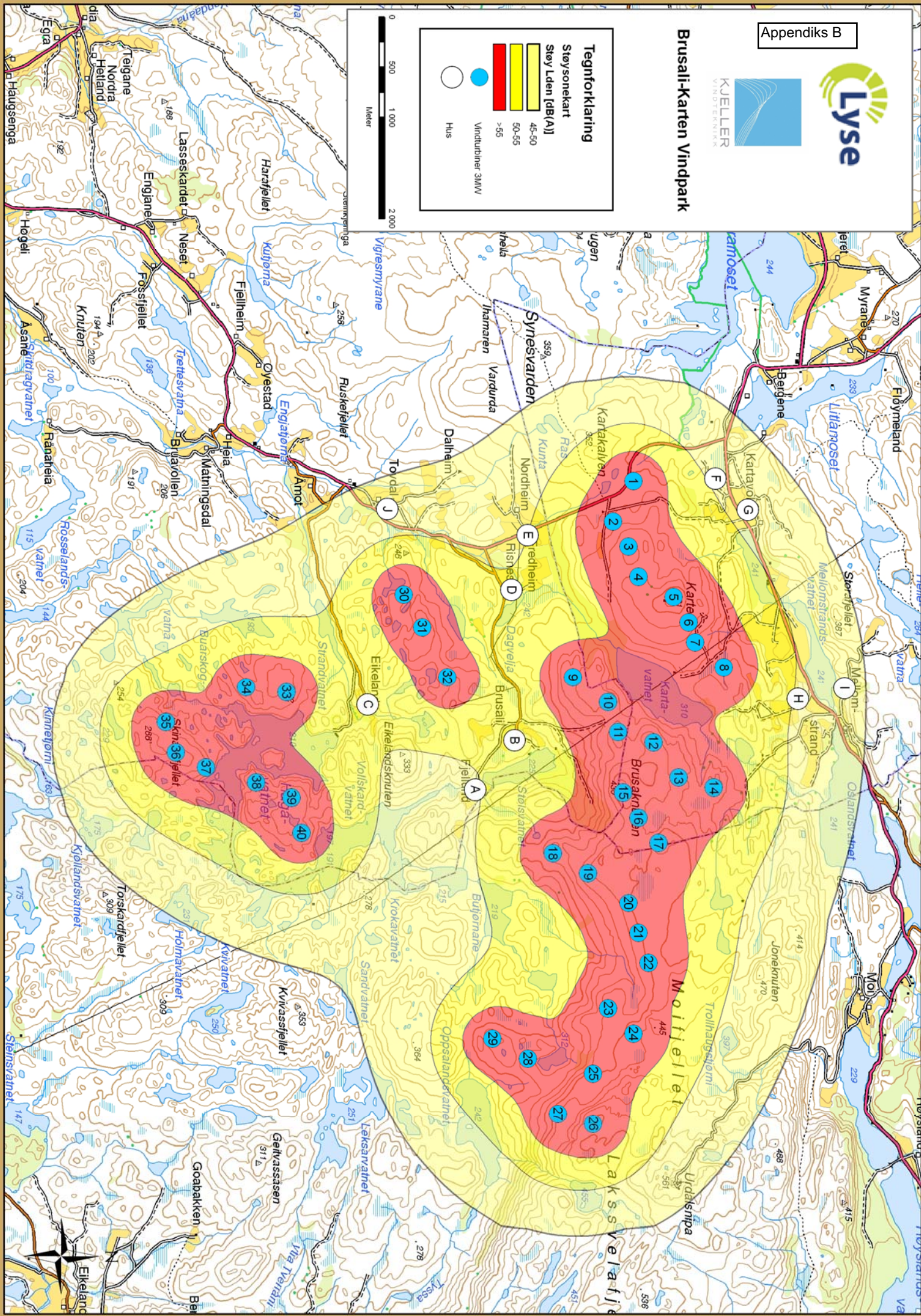
- Appendiks A Skyggekastkart
- Appendiks B Støysonekart "Worst case"
- Appendiks C Resultater skyggekastberegninger
- Appendiks D Grafisk skyggekastkalender for hver lokalitet
- Appendiks E Grafisk skyggekastkalender for hver vindturbin
- Appendiks F Resultater støyberegninger "Worst case"
- Appendiks G Støysonekart med vindretning nord-nordvest
- Appendiks H Støysonekart med vindretning sør-sørøst

Brusali-Karten Vindpark

Tegnforklaring



Brusali-Karten Vindpark



Project:

Lyse_BrusaliKarten

Printed/Page

27.04.2007 11:09 / 3

Licensed user:

Kjeller Vindteknikk AS
 Instituttveien 18
 NO-2025 Kjeller
 +47 63 80 62 11

Calculated:

27.04.2007 11:08/2.5.6.79

SHADOW - Main Result

Calculation: Brusali-Karten

...continued from previous page

| No. | Name | Worst case [h/year] |
|-----|--|------------------------|
| 14 | VESTAS V90 3000 90.0 !O! hub: 80.0 m (322) | 5:32 |
| 15 | VESTAS V90 3000 90.0 !O! hub: 80.0 m (294) | 0:00 |
| 16 | VESTAS V90 3000 90.0 !O! hub: 80.0 m (313) | 0:00 |
| 17 | VESTAS V90 3000 90.0 !O! hub: 80.0 m (298) | 0:00 |
| 18 | VESTAS V90 3000 90.0 !O! hub: 80.0 m (309) | 7:55 |
| 19 | VESTAS V90 3000 90.0 !O! hub: 80.0 m (302) | 0:00 |
| 20 | VESTAS V90 3000 90.0 !O! hub: 80.0 m (304) | 0:00 |
| 21 | VESTAS V90 3000 90.0 !O! hub: 80.0 m (308) | 0:00 |
| 22 | VESTAS V90 3000 90.0 !O! hub: 80.0 m (315) | 0:00 |
| 23 | VESTAS V90 3000 90.0 !O! hub: 80.0 m (323) | 0:00 |
| 24 | VESTAS V90 3000 90.0 !O! hub: 80.0 m (327) | 0:00 |
| 25 | VESTAS V90 3000 90.0 !O! hub: 80.0 m (331) | 0:00 |
| 26 | VESTAS V90 3000 90.0 !O! hub: 80.0 m (293) | 0:00 |
| 27 | VESTAS V90 3000 90.0 !O! hub: 80.0 m (303) | 0:00 |
| 28 | VESTAS V90 3000 90.0 !O! hub: 80.0 m (316) | 0:00 |
| 29 | VESTAS V90 3000 90.0 !O! hub: 80.0 m (307) | 0:00 |
| 30 | VESTAS V90 3000 90.0 !O! hub: 80.0 m (320) | 14:37 |
| 31 | VESTAS V90 3000 90.0 !O! hub: 80.0 m (310) | 35:08 |
| 32 | VESTAS V90 3000 90.0 !O! hub: 80.0 m (328) | 25:12 |
| 33 | VESTAS V90 3000 90.0 !O! hub: 80.0 m (321) | 22:56 |
| 34 | VESTAS V90 3000 90.0 !O! hub: 80.0 m (318) | 0:00 |
| 35 | VESTAS V90 3000 90.0 !O! hub: 80.0 m (324) | 0:00 |
| 36 | VESTAS V90 3000 90.0 !O! hub: 80.0 m (306) | 0:00 |
| 37 | VESTAS V90 3000 90.0 !O! hub: 80.0 m (326) | 0:00 |
| 38 | VESTAS V90 3000 90.0 !O! hub: 80.0 m (314) | 7:43 |
| 39 | VESTAS V90 3000 90.0 !O! hub: 80.0 m (312) | 6:00 |
| 40 | VESTAS V90 3000 90.0 !O! hub: 80.0 m (311) | 0:00 |

Project:

Lyse_BrusaliKarten

Printed/Page

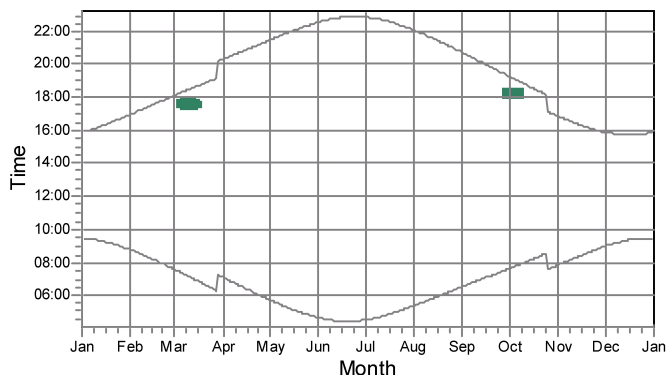
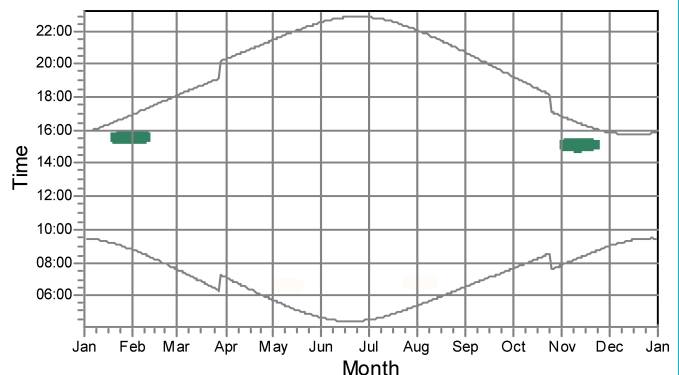
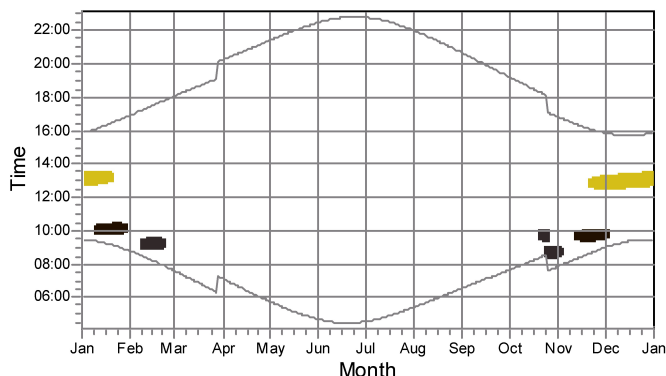
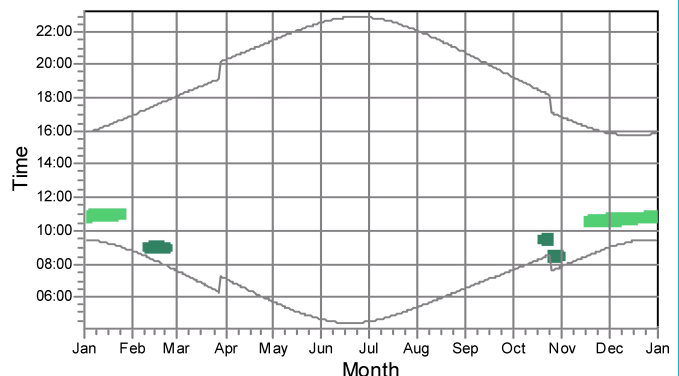
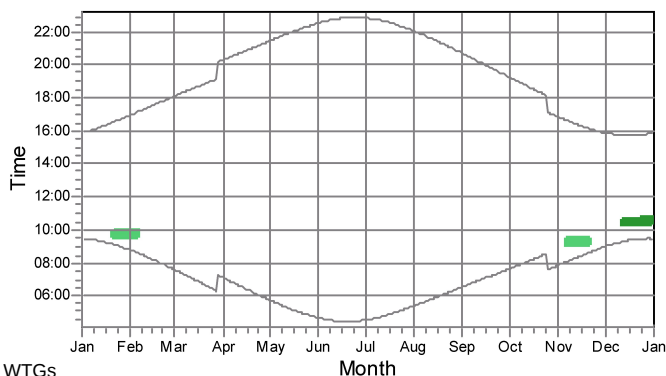
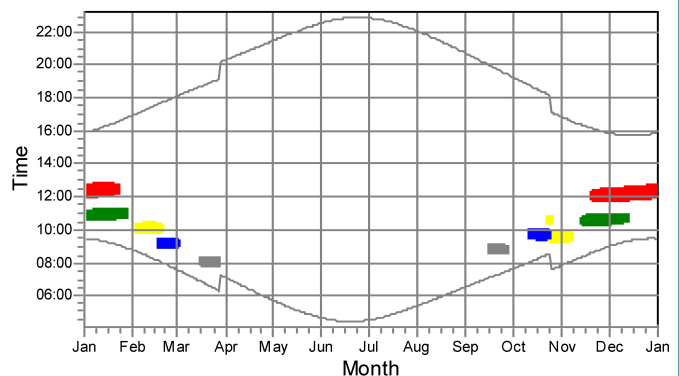
27.04.2007 11:17 / 1

Licensed user:

Kjeller Vindteknikk AS
 Instituttveien 18
 NO-2025 Kjeller
 +47 63 80 62 11

Calculated:

27.04.2007 11:08/2.5.6.79

SHADOW - Calendar, graphical**Calculation:** Brusali-KartenA: Shadow Receptor: 1.0×1.0 Azimuth: 0.0° Slope: 90.0° (1)B: Shadow Receptor: 1.0×1.0 Azimuth: 0.0° Slope: 90.0° (2)C: Shadow Receptor: 1.0×1.0 Azimuth: 0.0° Slope: 90.0° (3)D: Shadow Receptor: 1.0×1.0 Azimuth: 0.0° Slope: 90.0° (5)E: Shadow Receptor: 1.0×1.0 Azimuth: 0.0° Slope: 90.0° (6)F: Shadow Receptor: 1.0×1.0 Azimuth: 0.0° Slope: 90.0° (7)

WTGs

- 1: VESTAS V90 3000 90.0 !O! hub: 80.0 m (325)
- 2: VESTAS V90 3000 90.0 !O! hub: 80.0 m (317)
- 3: VESTAS V90 3000 90.0 !O! hub: 80.0 m (297)
- 4: VESTAS V90 3000 90.0 !O! hub: 80.0 m (300)
- 5: VESTAS V90 3000 90.0 !O! hub: 80.0 m (292)
- 18: VESTAS V90 3000 90.0 !O! hub: 80.0 m (309)

- 30: VESTAS V90 3000 90.0 !O! hub: 80.0 m (320)
- 31: VESTAS V90 3000 90.0 !O! hub: 80.0 m (310)
- 32: VESTAS V90 3000 90.0 !O! hub: 80.0 m (328)
- 33: VESTAS V90 3000 90.0 !O! hub: 80.0 m (321)
- 38: VESTAS V90 3000 90.0 !O! hub: 80.0 m (314)
- 39: VESTAS V90 3000 90.0 !O! hub: 80.0 m (312)

Project:

Lyse_BrusaliKarten

Printed/Page

27.04.2007 11:17 / 2

Licensed user:

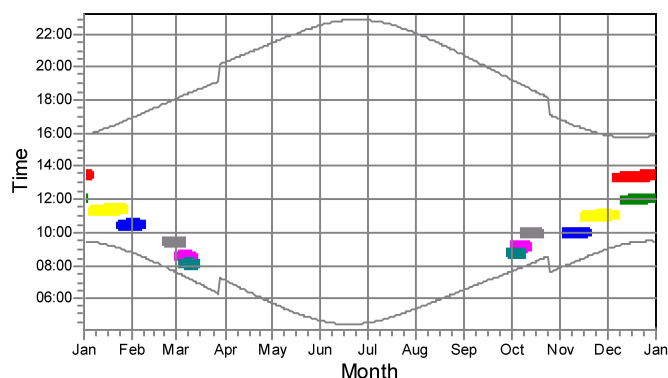
Kjeller Vindteknikk AS
 Instituttveien 18
 NO-2025 Kjeller
 +47 63 80 62 11

Calculated:

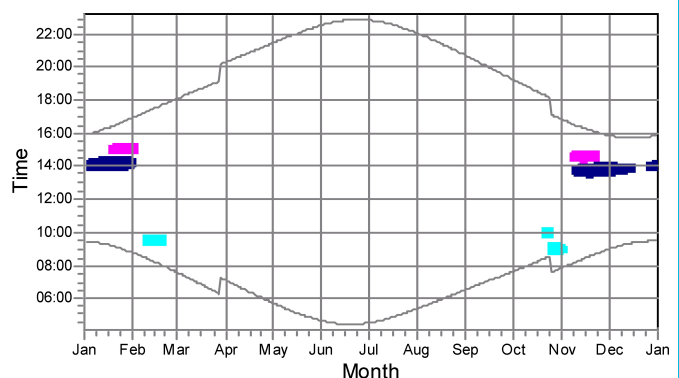
27.04.2007 11:08/2.5.6.79

SHADOW - Calendar, graphical**Calculation:** Brusali-Karten

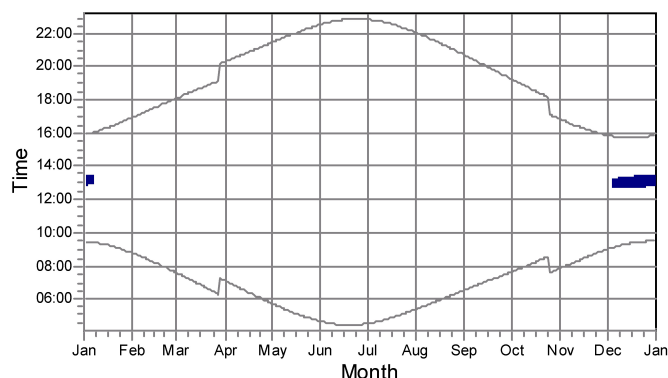
G: Shadow Receptor: 1.0 × 1.0 Azimuth: 0.0° Slope: 90.0° (8)



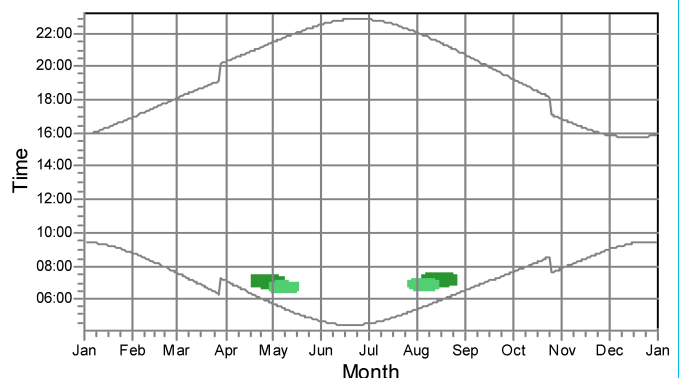
H: Shadow Receptor: 1.0 × 1.0 Azimuth: 0.0° Slope: 90.0° (9)



I: Shadow Receptor: 1.0 × 1.0 Azimuth: 0.0° Slope: 90.0° (10)



J: Shadow Receptor: 1.0 × 1.0 Azimuth: 0.0° Slope: 90.0° (4)



WTGs

- 1: VESTAS V90 3000 90.0 !O! hub: 80.0 m (325)
- 2: VESTAS V90 3000 90.0 !O! hub: 80.0 m (317)
- 3: VESTAS V90 3000 90.0 !O! hub: 80.0 m (297)
- 4: VESTAS V90 3000 90.0 !O! hub: 80.0 m (300)
- 5: VESTAS V90 3000 90.0 !O! hub: 80.0 m (292)
- 6: VESTAS V90 3000 90.0 !O! hub: 80.0 m (305)

- 7: VESTAS V90 3000 90.0 !O! hub: 80.0 m (329)
- 8: VESTAS V90 3000 90.0 !O! hub: 80.0 m (330)
- 14: VESTAS V90 3000 90.0 !O! hub: 80.0 m (322)
- 30: VESTAS V90 3000 90.0 !O! hub: 80.0 m (320)
- 31: VESTAS V90 3000 90.0 !O! hub: 80.0 m (310)

Project:

Lyse_BrusaliKarten

Printed/Page

27.04.2007 11:19 / 1

Licensed user:

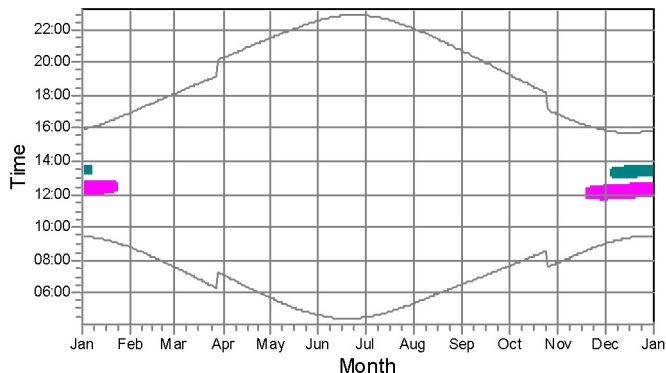
Kjeller Vindteknikk AS
 Instituttveien 18
 NO-2025 Kjeller
 +47 63 80 62 11

Calculated:

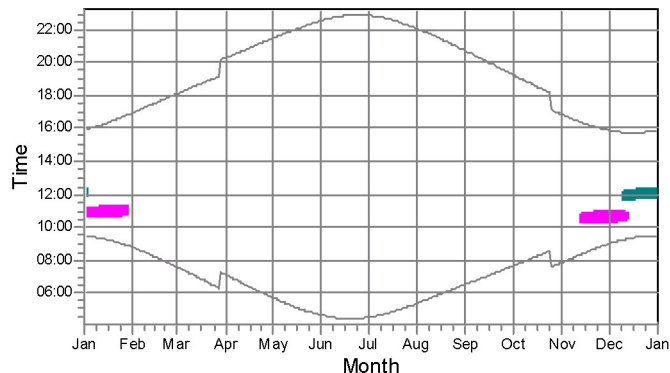
27.04.2007 11:08/2.5.6.79

SHADOW - Calendar per WTG, graphical**Calculation:** Brusali-Karten

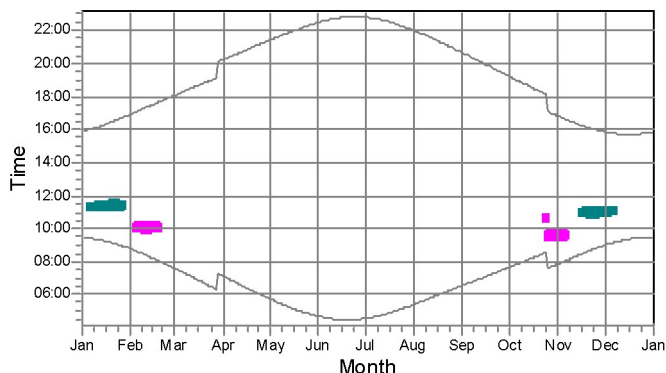
1: VESTAS V90 3000 90.0 °! hub: 80.0 m (325)



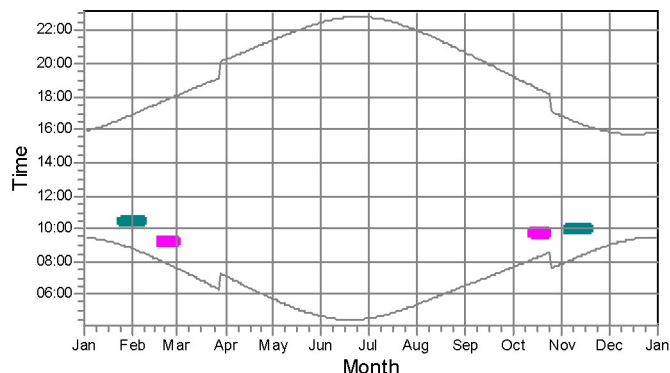
2: VESTAS V90 3000 90.0 °! hub: 80.0 m (317)



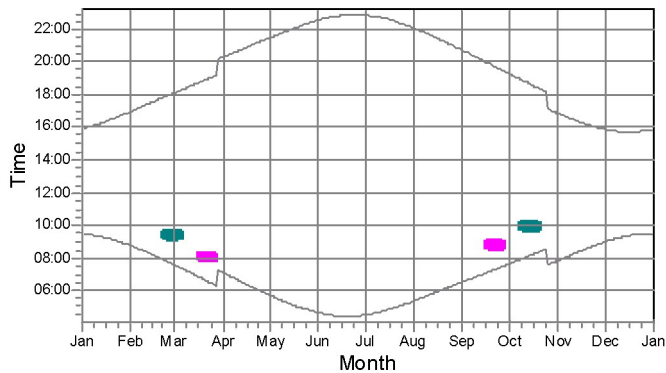
3: VESTAS V90 3000 90.0 °! hub: 80.0 m (297)



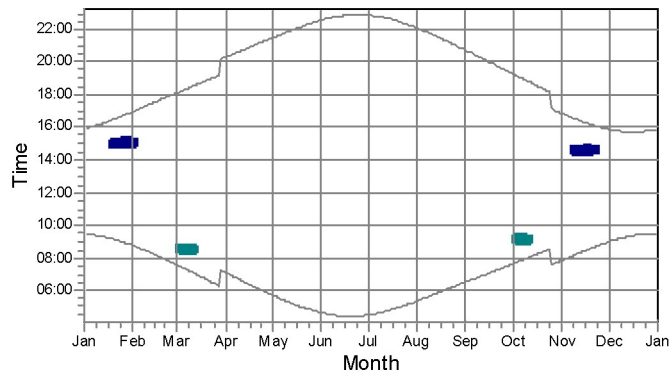
4: VESTAS V90 3000 90.0 °! hub: 80.0 m (300)



5: VESTAS V90 3000 90.0 °! hub: 80.0 m (292)



6: VESTAS V90 3000 90.0 °! hub: 80.0 m (305)



Shadow receptor

- F: Shadow Receptor: 1.0 × 1.0 Azimuth: 0.0° Slope: 90.0° (7)
- G: Shadow Receptor: 1.0 × 1.0 Azimuth: 0.0° Slope: 90.0° (8)
- H: Shadow Receptor: 1.0 × 1.0 Azimuth: 0.0° Slope: 90.0° (9)

Project:

Lyse_BrusaliKarten

Printed/Page

27.04.2007 11:19 / 2

Licensed user:

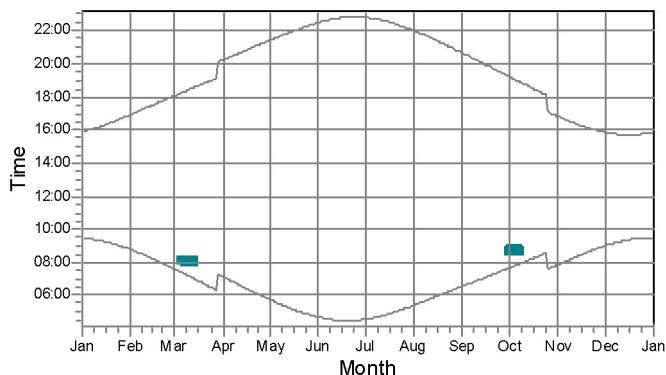
Kjeller Vindteknikk AS
 Instituttveien 18
 NO-2025 Kjeller
 +47 63 80 62 11

Calculated:

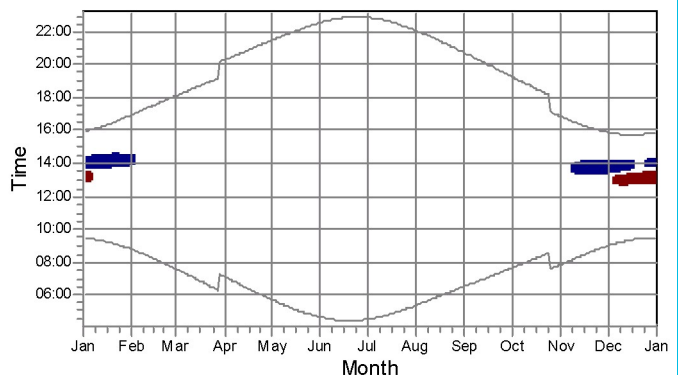
27.04.2007 11:08/2.5.6.79

SHADOW - Calendar per WTG, graphical**Calculation:** Brusali-Karten

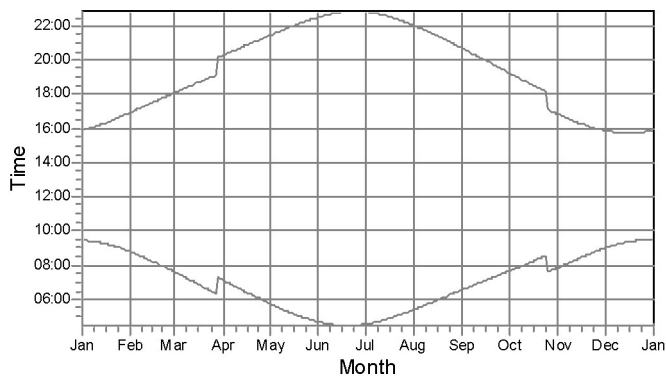
7: VESTAS V90 3000 90.0 IO! hub: 80.0 m (329)



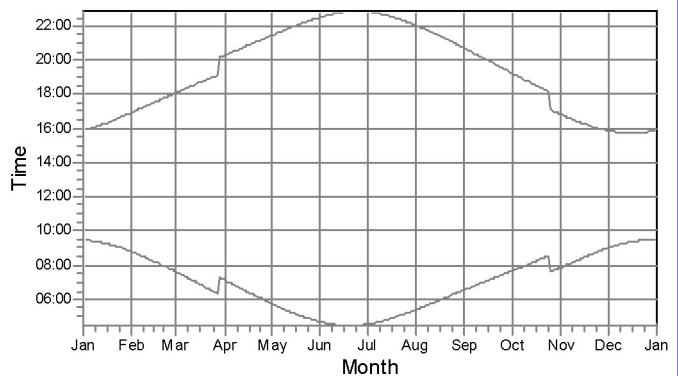
8: VESTAS V90 3000 90.0 IO! hub: 80.0 m (330)



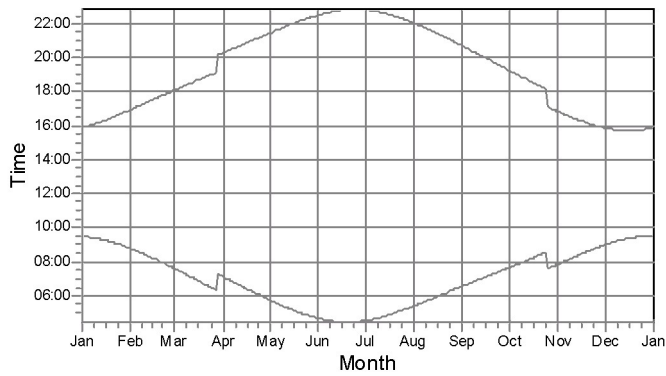
9: VESTAS V90 3000 90.0 IO! hub: 80.0 m (301)



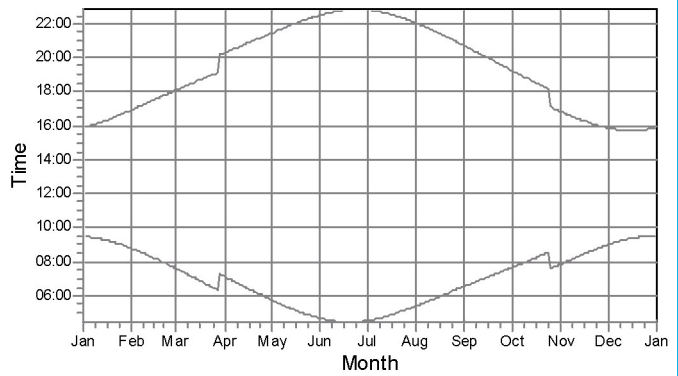
10: VESTAS V90 3000 90.0 IO! hub: 80.0 m (295)



11: VESTAS V90 3000 90.0 IO! hub: 80.0 m (299)



12: VESTAS V90 3000 90.0 IO! hub: 80.0 m (296)

**Shadow receptor**

G: Shadow Receptor: 1.0 x 1.0 Azimuth: 0.0° Slope: 90.0° (8)

H: Shadow Receptor: 1.0 x 1.0 Azimuth: 0.0° Slope: 90.0° (9)

I: Shadow Receptor: 1.0 x 1.0 Azimuth: 0.0° Slope: 90.0° (10)

Project:

Lyse_BrusaliKarten

Printed/Page

27.04.2007 11:19 / 3

Licensed user:

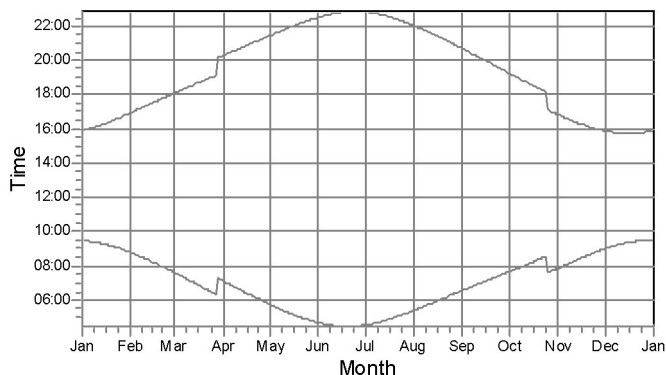
Kjeller Vindteknikk AS
 Instituttveien 18
 NO-2025 Kjeller
 +47 63 80 62 11

Calculated:

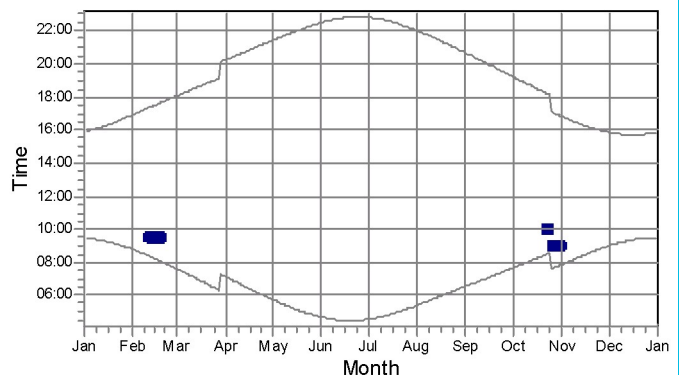
27.04.2007 11:08/2.5.6.79

SHADOW - Calendar per WTG, graphical**Calculation:** Brusali-Karten

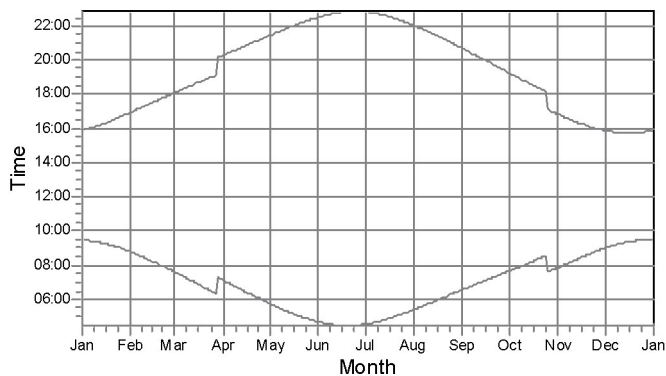
13: VESTAS V90 3000 90.0 |O! hub: 80.0 m (319)



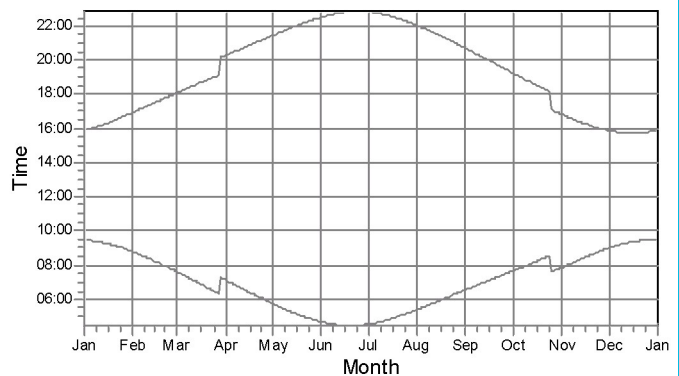
14: VESTAS V90 3000 90.0 |O! hub: 80.0 m (322)



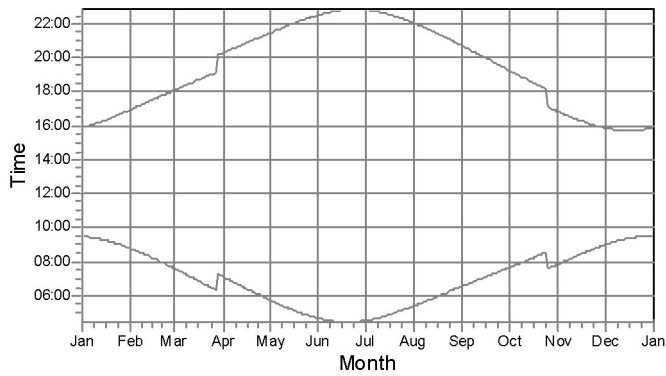
15: VESTAS V90 3000 90.0 |O! hub: 80.0 m (294)



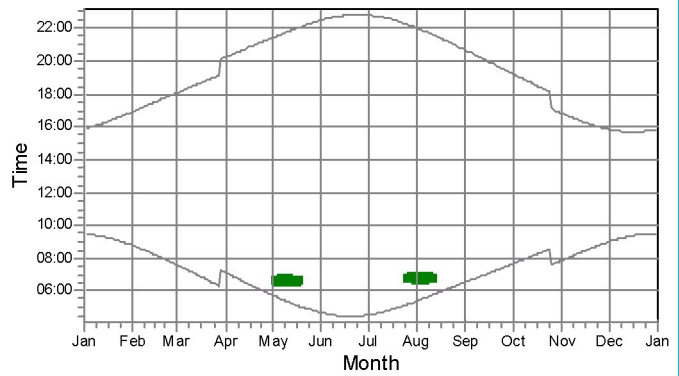
16: VESTAS V90 3000 90.0 |O! hub: 80.0 m (313)



17: VESTAS V90 3000 90.0 |O! hub: 80.0 m (298)



18: VESTAS V90 3000 90.0 |O! hub: 80.0 m (309)



Shadow receptor



B: Shadow Receptor: 1.0 x 1.0 Azimuth: 0.0° Slope: 90.0° (2)

H: Shadow Receptor: 1.0 x 1.0 Azimuth: 0.0° Slope: 90.0° (9)

Project:

Lyse_BrusaliKarten

Printed/Page

27.04.2007 11:19 / 4

Licensed user:

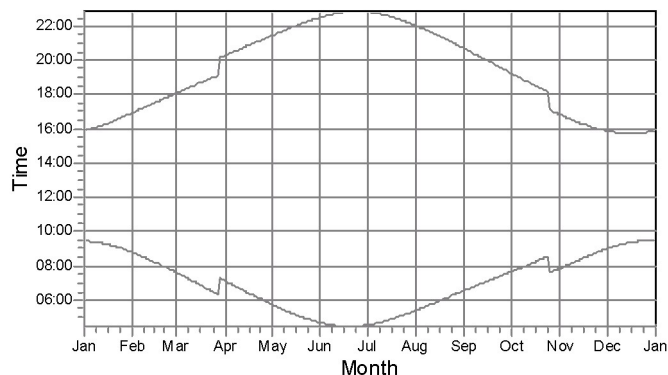
Kjeller Vindteknikk AS
 Instituttveien 18
 NO-2025 Kjeller
 +47 63 80 62 11

Calculated:

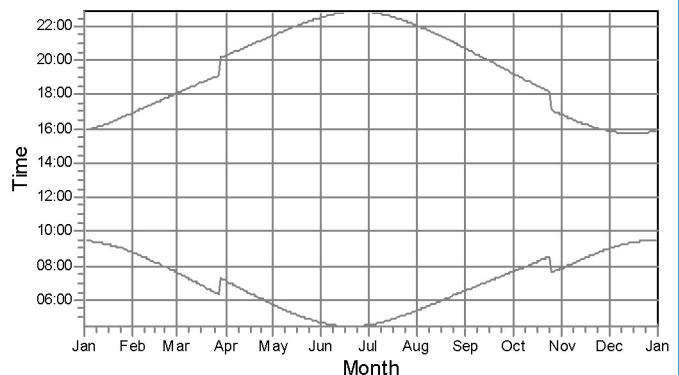
27.04.2007 11:08/2.5.6.79

SHADOW - Calendar per WTG, graphical**Calculation:** Brusali-Karten

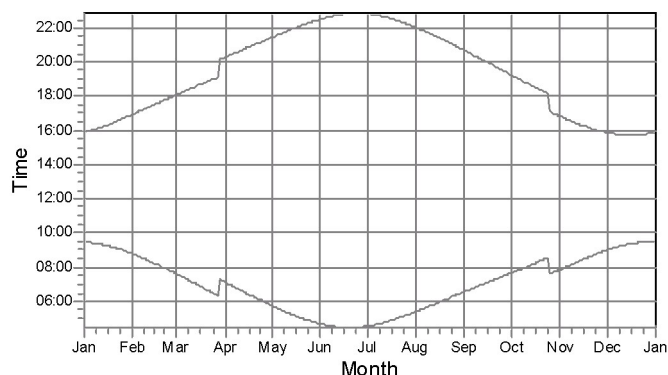
19: VESTAS V90 3000 90.0 |O! hub: 80.0 m (302)



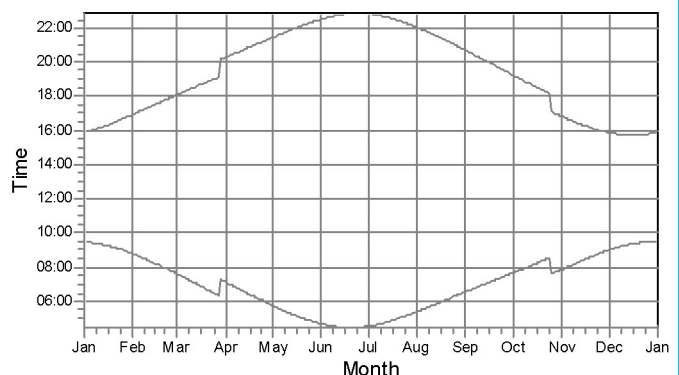
20: VESTAS V90 3000 90.0 |O! hub: 80.0 m (304)



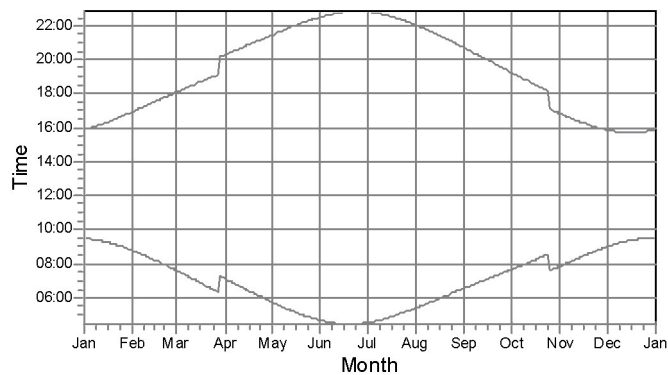
21: VESTAS V90 3000 90.0 |O! hub: 80.0 m (308)



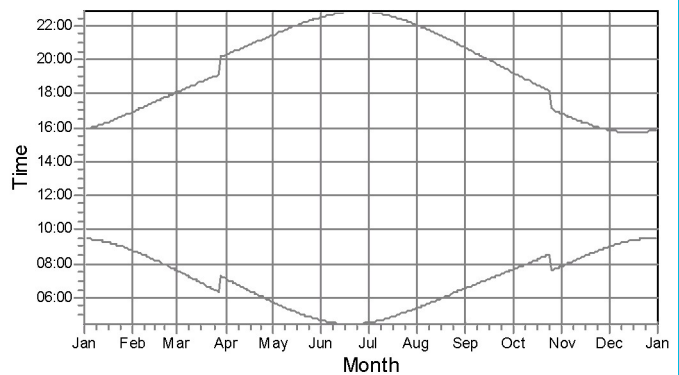
22: VESTAS V90 3000 90.0 |O! hub: 80.0 m (315)



23: VESTAS V90 3000 90.0 |O! hub: 80.0 m (323)



24: VESTAS V90 3000 90.0 |O! hub: 80.0 m (327)



Shadow receptor

Project:

Lyse_BrusaliKarten

Printed/Page

27.04.2007 11:19 / 5

Licensed user:

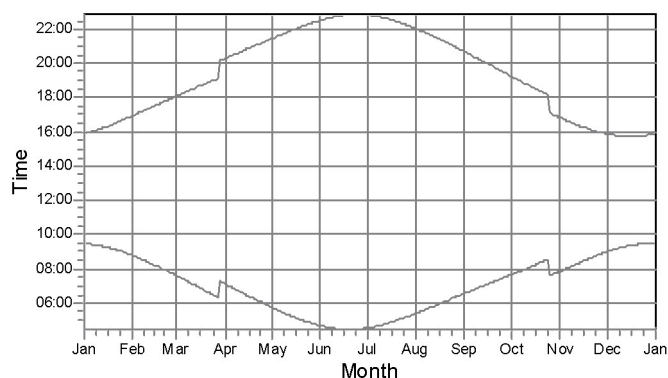
Kjeller Vindteknikk AS
 Instituttveien 18
 NO-2025 Kjeller
 +47 63 80 62 11

Calculated:

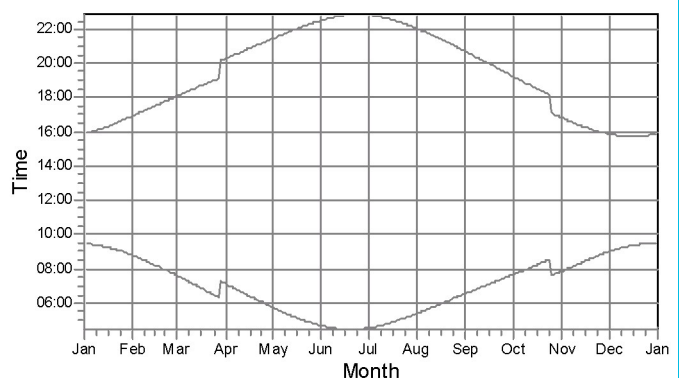
27.04.2007 11:08/2.5.6.79

SHADOW - Calendar per WTG, graphical**Calculation:** Brusali-Karten

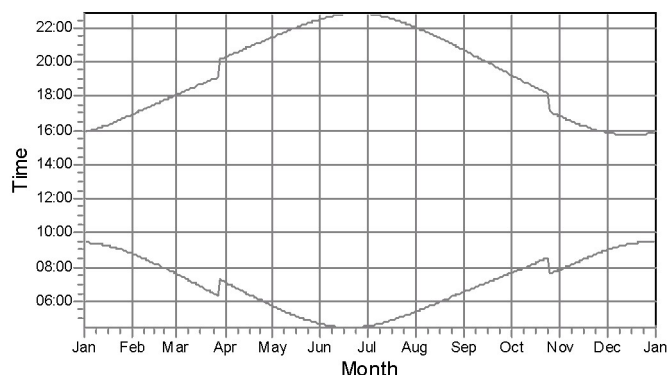
25: VESTAS V90 3000 90.0 |O! hub: 80.0 m (331)



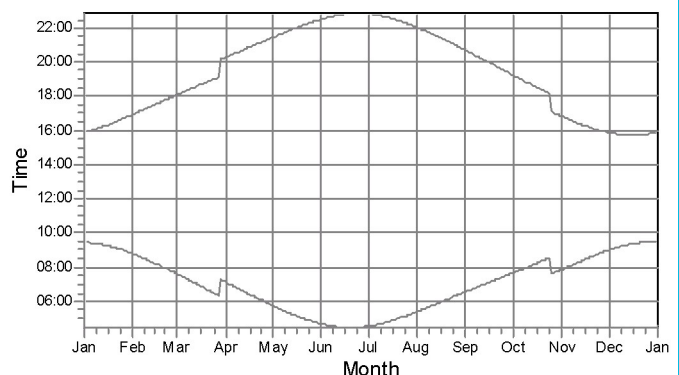
26: VESTAS V90 3000 90.0 |O! hub: 80.0 m (293)



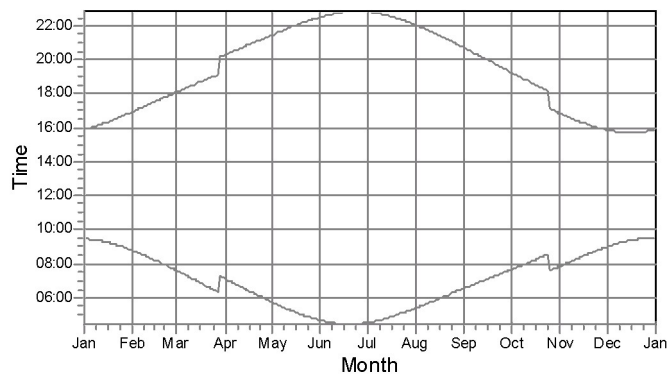
27: VESTAS V90 3000 90.0 |O! hub: 80.0 m (303)



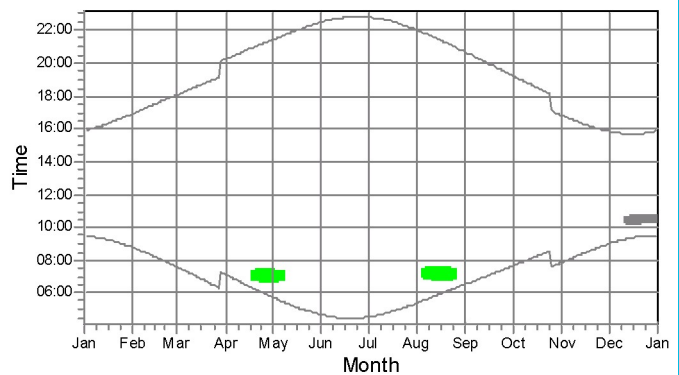
28: VESTAS V90 3000 90.0 |O! hub: 80.0 m (316)



29: VESTAS V90 3000 90.0 |O! hub: 80.0 m (307)



30: VESTAS V90 3000 90.0 |O! hub: 80.0 m (320)



Shadow receptor



E: Shadow Receptor: 1.0 x 1.0 Azimuth: 0.0° Slope: 90.0° (6)



J: Shadow Receptor: 1.0 x 1.0 Azimuth: 0.0° Slope: 90.0° (4)

Project:

Lyse_BrusaliKarten

Printed/Page

27.04.2007 11:19 / 6

Licensed user:

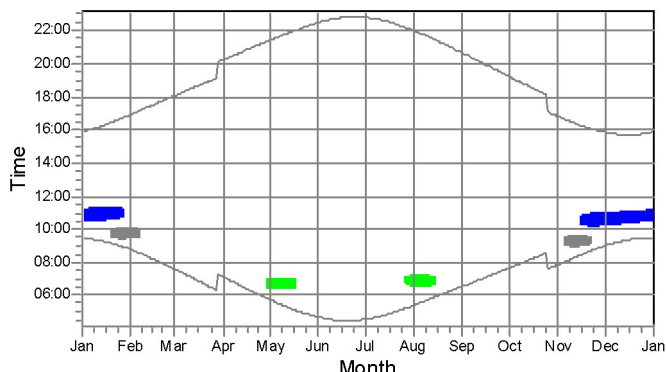
Kjeller Vindteknikk AS
 Instituttveien 18
 NO-2025 Kjeller
 +47 63 80 62 11

Calculated:

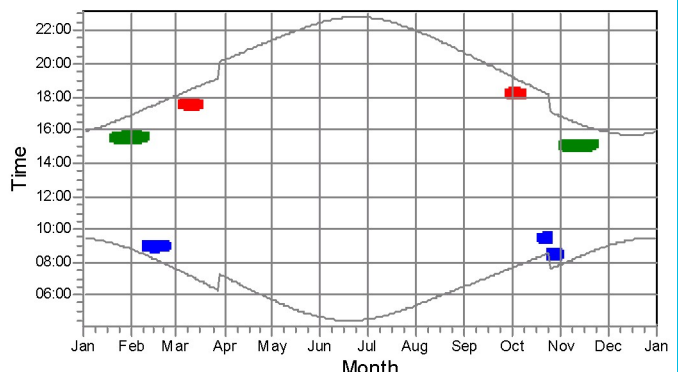
27.04.2007 11:08/2.5.6.79

SHADOW - Calendar per WTG, graphical**Calculation:** Brusali-Karten

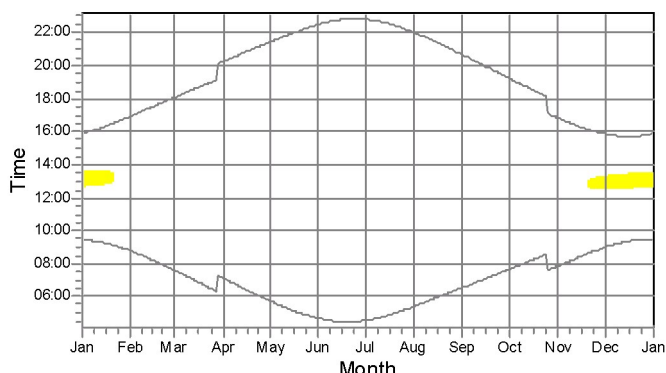
31: VESTAS V90 3000 90.0 |O! hub: 80.0 m (310)



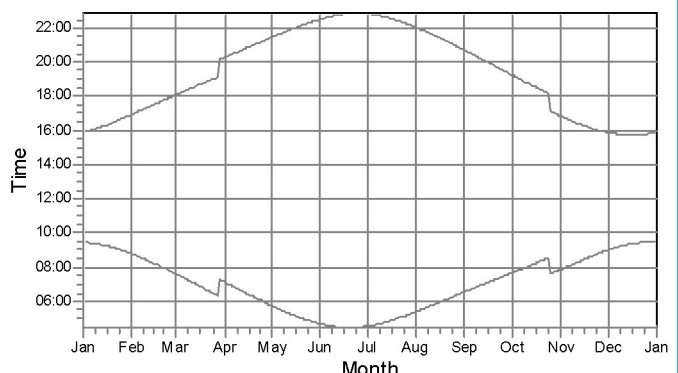
32: VESTAS V90 3000 90.0 |O! hub: 80.0 m (328)



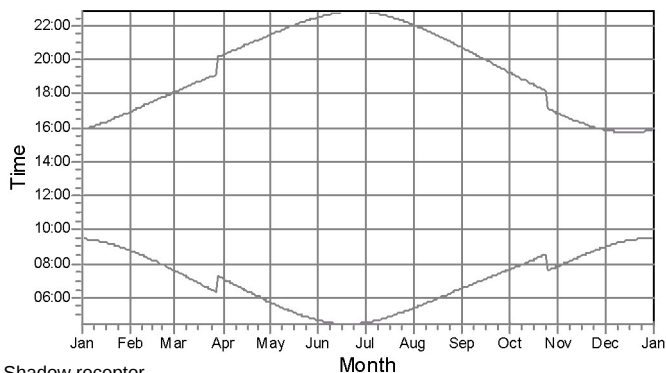
33: VESTAS V90 3000 90.0 |O! hub: 80.0 m (321)



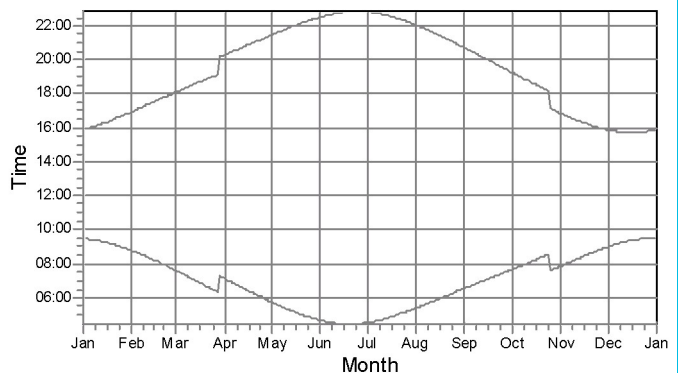
34: VESTAS V90 3000 90.0 |O! hub: 80.0 m (318)



35: VESTAS V90 3000 90.0 |O! hub: 80.0 m (324)



36: VESTAS V90 3000 90.0 |O! hub: 80.0 m (306)



Shadow receptor

- A: Shadow Receptor: 1.0 × 1.0 Azimuth: 0.0° Slope: 90.0° (1)
- B: Shadow Receptor: 1.0 × 1.0 Azimuth: 0.0° Slope: 90.0° (2)
- C: Shadow Receptor: 1.0 × 1.0 Azimuth: 0.0° Slope: 90.0° (3)
- D: Shadow Receptor: 1.0 × 1.0 Azimuth: 0.0° Slope: 90.0° (5)
- E: Shadow Receptor: 1.0 × 1.0 Azimuth: 0.0° Slope: 90.0° (6)
- J: Shadow Receptor: 1.0 × 1.0 Azimuth: 0.0° Slope: 90.0° (4)

Project:

Lyse_BrusaliKarten

Printed/Page

27.04.2007 11:19 / 7

Licensed user:

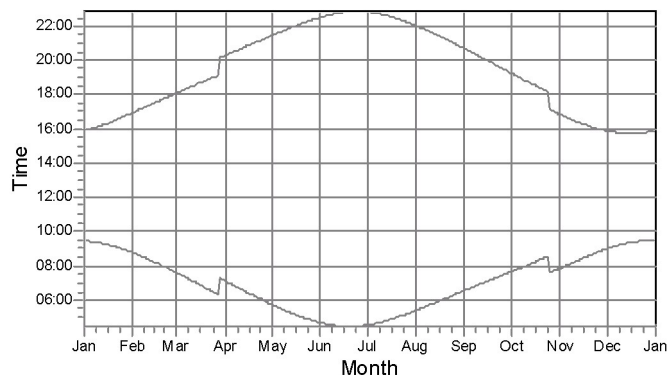
Kjeller Vindteknikk AS
 Instituttveien 18
 NO-2025 Kjeller
 +47 63 80 62 11

Calculated:

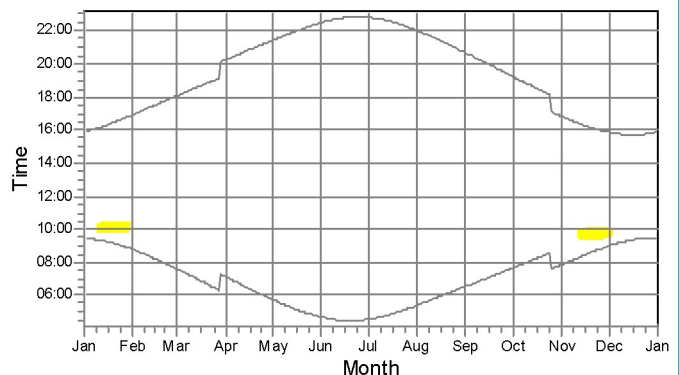
27.04.2007 11:08/2.5.6.79

SHADOW - Calendar per WTG, graphical**Calculation:** Brusali-Karten

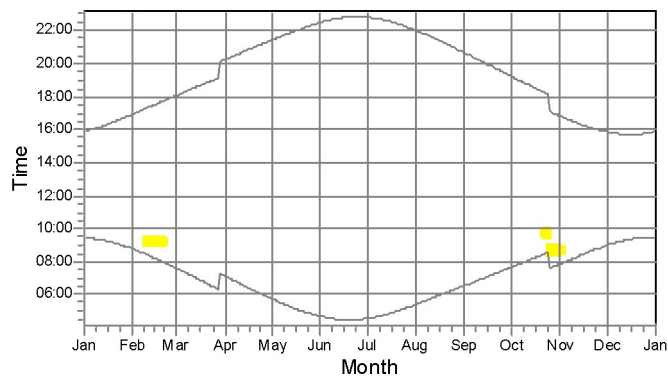
37: VESTAS V90 3000 90.0 |O! hub: 80.0 m (326)



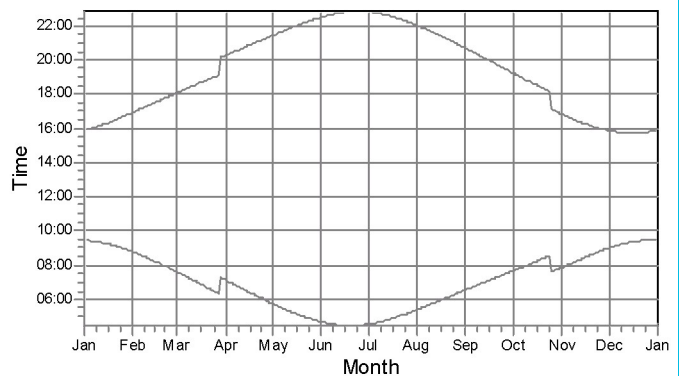
38: VESTAS V90 3000 90.0 |O! hub: 80.0 m (314)



39: VESTAS V90 3000 90.0 |O! hub: 80.0 m (312)



40: VESTAS V90 3000 90.0 |O! hub: 80.0 m (311)



Shadow receptor

C: Shadow Receptor: 1.0 × 1.0 Azimuth: 0.0° Slope: 90.0° (3)

